

Estudo de Impacto da Implantação da Central de Tratamento de Resíduos Sólidos Industriais e Comerciais de Chapecó/SC - Junho/2001 10-9

mais espesso o derrame, maior a quantidade de calor a dissipar, mais lento será o Por ser a última a resfriar, é a zona de maior grau de cristalização do derrame. Quantidade espessa o derrame, maior a quantidade de calor a dissipar, mais lento será o

espessura, que é a zona mais espessa do derrame, constituindo de 50 a 90% da Esta origem influenciará em muitas das características físicas desta zona, como a espessura total do derrame.

Colunar ou de fraturamento vertical, resultando fragmentos com forma de colunas, de onde advém seu nome de zona vertical, resultando fragmentos com forma de colunas, de onde advém seu nome de zona estremece zonas amigdaloides e vitrea no estadio sólido, a rocha basáltica da zona colunar se fracturará intensamente no sentido perpendicular à maior dimensão, portanto no sentido estreito. Como não há possibilidade de contrair como um corpo homogêneo e por movimento. Aos 800-900°C, a lava já estaria totalmente solidificada e sofreria intensa contração ate atingir a temperatura de cerca 50°C, que seria uma temperatura ambiente, n aquela momento. Aos 800-900°C, a lava já estaria totalmente solidificada e sofreria intensa contração ate

Neste estágio da consolidação, tem-se o derame constituído por um lago de lava ainda líquida, de quilômetros a dezenas de quilômetros de diâmetro, com suas bordas superior e inferior no estadio sólido, restando a porção central, ainda no estadio líquido. Portanto, esta zona será a última a resfriar, sofrendo um resfriamento bastante mais lento do que as demais zonas.

10.1.2.4 Caracterização geológica da Zona Colunar de um derame basáltico

Por ter espessura reduzida, pouco contribui para o armazenamento e fluxo da água no conjunto dos derames.

Nesta tabular predominia o fraturamento horizontal, produzindo fragmentos de forma tabular ou em tabuletes, com dimensões aproximadas de 10-20 centímetro, por 5-15 centímetro e 2-5 centímetro.

Apesar do fraturamento ser provocado pelo fluxo da lava em resfriamento, sua estrutura evidencia ser maciça, quando a rocha se mostra inalterada, mas o plano fluidal pode ser aparente ser maciça, quando a rocha se mostra inalterada, mas o plano fluidal pode ser

Sendo sua velocidade de resfriamento intermediária entre as demais zonas, sua textura mostreia um tamanho de grão intermedio. As texturas mais comumente apresentadas pela zona tabular correspondente a microcristalina.

Este fraturamento produz fragmentos em forma de placas, características que definem sua denominação. Com frequência, esta zona não ocorre e quando ocorre, sua espessura é reduzida, variando de zero a 20% da espessura total do pavimento.

10.1.2.3 Caracterização geológica da Zona Tabular ou de Fraturamento Horizontal

O intenso fraturamento lhe confere boa permeabilidade, mas por apresentar pedra espessura, sua transmissibilidade tende ser reduzida.

O rápido resfriamento, levava a formação de uma textura vitrea, ou seja, holohialina e por não apresentar gases e não sofre influência do fluxo da lava, sua estrutura tenderá a maciça ou isotropa.

Em vários projetos elaborados em Santa Catarina, determinou-se a altitude do contato inferior do rochedo com o basalto, assim como seu contato superior, que também se dá com o basalto. No trecho Irami – Lindóia (SCO-488) o contato superior com o basalto foi inferior ao rochedo com o basalto, determinando assim a altitude do contato inferior com o basalto.

Além dessa régua, ocorre ainda de modo isolado em São Joaquim, Urupema, sul de Lages e Praia Grande. Além desse rochedo, abrangendo os municípios de Abelardo Luz, Xanxeré, São Domingos, Xaxim, Marema, Chapecó, Ponte Serrada, Águia Doca, Catanduvas, Irami, continuidade, na régua noroeste, abrangendo os municípios de Abelardo Luz, Xanxeré, Os derames ácidos riocárticos, ocorrem no Estado de Santa Catarina com certa

na volta a serem recobertos pelos derames basálticos. Por ser um dos últimos eventos vulcânicos da Formação Serra Geral, os derames riocárticos ocorrem no topo dos derames basálticos, em grandes altitudes, podendo ou

rochedos suave, limitado, frequentemente, por escarpas. O peso específico variável entre 2,5 a 2,7 g/cm³. O relevo formado é predominante mostram uma estrutura fluidal, que provoca um intenso fracturamento no sentido horizontal rochas de coloração clara, cinza médio a clara, com textura microcristalina à porfira e no Rio Grande do Sul, tendo sido posteriormente identificadas em Santa Catarina. São Estas rochas formam pela primeira vez identificadas, claramente, por A. Roisemberg (1977)

No final das erupções que formaram os derames basálticos, o magma foi se tornando rochas que vão desde andesitos, traquitos, dacitos a riolitos, cujo conjunto é denominado riocártico, com teores de silica superiores a 52%, chegando a mais de 66%. Formaram mais ácido, com contactos de quartzo a mafitas, que formam zonas de riocártico.

10.1.2.5 Caracterização geológica dos Derames Riocárticos

Quando exposta na superfície, tende a formar um relevo plano, limitado por encostas escarpadas. Sendo o derame um "lago" de lava, os contactos entre as diferentes zonas seriam dissipaçao do calor, resultando uma superfície aproximadamente horizontal, proxima da horizontal. Alternando-se a zona amigdaloide, o basalto columnar resistira, comandando pelo dissipaçao do calor, resultando um relevo escarpado que é verticalmente, as encostas tendem a mostar escarpas pela queda de prismas interiores.

Formando um relevo plano. Por ser constituído por prismas justapostos, coloquados formando um horizonte. Alternando-se a zona amigdaloide, o basalto columnar resistira, quando exposta na superfície, tende a formar um relevo plano, limitado por encostas escarpadas. Sendo o derame um "lago" de lava, os contactos entre as diferentes zonas seriam dissipaçao do calor, resultando uma superfície aproximadamente horizontal, proxima da base desses prismas são da ordem de centímetros a decímetros (5 a 60 centímetros) e de altura de decímetros a metros (0,3 a 3 m). Por estarem estes prismas justapostos, com pedra aberta nos planos de fratura, a zona columnar tende apresentar menor permeabilidade, quando comparada com as demais zonas do derame.

Contrário, verificada quando uma rocha homogênea resfria uniformemente. As dimensões da fratura no sentido vertical geralmente tendem a forma hexagonal, devido a entrelaçamento de maior ser a o grau de cristalização. Desse modo, sua textura pode variar entre equigranular fino a microcristalina, podendo ser holohialina para derames de resfriamento e maior ser a o grau de cristalização. Sua estrutura é maciça por não apresentar amigdalas, vesículas ou planos fluidais.

Cabe aindaressar a importância da pedologia no estudo geotécnico, pelo fato de a normalmente negligenciados pela mecânica dos solos clássica, pois a maioria de seus pedologias dispensar grande atenção à estrutura do solo, apresentando detalhes, tem maior correlação, com as variações apresentadas pela rocha.

estrutura e mineralogia. Pela mesma razão, as características geotécnicas do horizonte C, tem maior relação com a rocha, pois preservam parcialmente, sua textura, reprovavelmente, em projetos de rechapeamento, quando é recomendada a sua estocagem, para posterior remoção, nas obras a serem construídas. Por outro lado, passam a interessar à área ambiental, na terraplanagem, quando é recomendada a sua utilização, especialmente, em rechalhadas. Por menor interesse na engenharia, por ser, genericamente, recomendada a horizonte A tem menor relação ao horizonte B dos solos. As características do geotécnico, especialmente das características pedológicas dos solos, com as principais, na correlação entre os rios de grande declividade ou pouco expressivos, com vales encachados, é reduzida a extensão dos depósitos aluvionares.

A pedologia é uma ferramenta importante, que deve ser utilizada na engenharia, principalmente na região de Chápeu, por serem os rios de grande declividade ou pouco especificamente na região de Chápeu, por serem os rios de grande declividade ou pouco matacões em seu meio.

Os depósitos coluvionares constituem outros Sedimentos Quarteados que ocorrem na região. São de natureza argilosa, de forma lenicular, sendo comum centro de inundação que podem ser encontrados nos rios e rachas que correm na região. Os depósitos aluvionares formados nos rios e rachas que correm na região, são de aluvionares autóctones, compreendendo cascalhos, assim como argilas de planícies fluviais e aluvionares contendo relações com depósitos de argiloso.

Na região, predominam os depósitos continentais de bacias cotais, ambientes de formação, tendem formar superfícies planas, de baixas cotas.

Os Sedimentos Quarteados se caracterizam por serem inconsolidados e devido a seu ambiente de formação, tendem formar superfícies planas, de baixas cotas.

10.1.2.6 Caracterização geológica dos Sedimentos Quarteados

Além destes pontos, o contato inferior do riadacto foi observado em São Joaquim, na altitude aproximada de 1.280 m e em Urupema, na altitude aproximada de 1.630 m.

No trecho Abellardo Luz – Vargão o contato inferior foi constatado na estaca 1.520, com altitude de 862. A maior altitude de ocorrência do riadacto neste trecho, está na estaca 1.338, com a altitude 1.032 m, o que correspondeira a uma espessura de no mínimo 170m. Portanto, além da grande variabilidade, observa-se que este contato inferior pode ocorrer de 730 m; 1.095 com altitude de 402 m; na 1.272, com 452m; 1.370 com altitude de 562 m. No trecho da BR-282 (Xaxim) – São Domingos (SC-451) constatou-se grande variabilidade de altitude do contato inferior do riadacto, tendo sido determinado na estaca 207, na altitude de 814 m, estando a altitude máxima de ocorrência do riadacto no ponto final, na altitude de 1.10m, o que correspondeira a uma espessura de no mínimo 296m.

No trecho Praia Grande – Divisa (SC-450) o contato inferior foi constatado na estaca 659, na altitude de 814 m, estando a altitude máxima de ocorrência do riadacto no ponto final,

ensaios são efetuados com amostras destoroadas, que destroem a estrutura solos. Conhece-se a estrutura dos solos sob o ponto de vista pedológico, pode-se correlacionar com propriedades geotécnicas, ou ainda, recomendar a execução de ensaios "in situ".

Consultando o Mapa Exploratório de Solos apresentado no Atlas de Santa Catarina - GAPLAN - 1986, pode-se constatar na região de Chapéu, a predominância dos Latossolos Bruno, intermediário para Latossolo Roxo alúvio São solos minerais, não hidromórficos, caracterizados pela presença de B latossólico. Distinguem-se dos Latossolos Bruno, intermediário Roxo alúvio São solos minerais, não hidromórficos, principalmente pelo coloração mais avermelhada e dos Latossolos Bruno, principalmente pela coloração mais avermelhada e avolumento de argila.

O solo geralmente profundos e muito profundos, com textura muito argilosa. A sedimentação de horizontes é do tipo A, B e C, com transição difusa e gradual. São basalto e menos comumente de rochas effusivas ácidas da Formação Serra Geral.

Roxos pela coloração ligeiramente mais bruna, menor profundidade da estrutura dos periféricos, maior profundidade das periferias, maior desenvolvimento da estrutura em blocos, variação na espessura de local para local, maior desenvolvimento da estrutura em blocos, principalemente no horizonte B, e menor suscetibilidade magnética. São desenvolvidos do solo geralmente profundos e muito profundos, com textura muito argilosa.

Os bacias teóricas de alumínio ocorrem em níveis prejudiciais ao desenvolvimento da maioria das culturas, havendo pois necessidade de aplicação de corretivo. Estes solos situam-se em teores de bases trocáveis conferindo fertilidade natural e mate nativa.

Geotecnicamente, os Latossolos se caracterizam por serem colapsáveis e apesar de apresentarem uma granulometria muito argilosa, mostram boa permeabilidade. Esta característica se deve a estrutura do solo, pois as argilas os hidroxilos de ferro e alumínio, formam grumos, que se compõem como grao mais grossos. Quando destoroados compactados passam apresentar baixa permeabilidade, alto CBR e baixa expansão.

Na região os Latossolos Bruno intermediários para Latossolos Roxo alúvio São ocorrem associados a Terra Branca Estruturada intermediária para Terra Roxa Estruturada para Terra Roxa Estruturada alúcia.

O litólico eutrófico ocorre principalmente na Serra do Iraí, Serra do Chapéu e Serra da Fazenda. Suas características morfológicas restringem-se basicamente ao horizonte A, que varia normalmente de 15 a 40 cm de espessura, sendo que sua cor, textura, estrutura e consistência depende principalmente do material de origem e das condições climáticas vigentes. Abaixo desse horizonte podem ocorrer calhaus, pedras e materiais semi-afterados das rochas em mistura com material desse horizonte ou ainda, pode o horizonte e consistência depender principalmente do material de origem e das condições climáticas que variam normalmente de 15 a 40 cm de espessura, sendo que sua cor, textura, estrutura e consistência ao horizonte A, que varia normalmente na Serra do Iraí, Serra do Chapéu e Serra da Fazenda.

As condições geotécnicas do perfil de intemperismo da zona amigdalóide melhoram sensivelmente, quando passa do horizonte C para o B. No horizonte B, dependendo de seu desenvolvimento pedogenético, especialmente no latossolo, a colinação predominante é avermelhada, apresentando freqüentemente características de solo

rasgos, recomendável a sua indicação como empresteiro, muito menos como jazida de argilas, exigem a substituição do subleito de rochas e não sendo por estes com freqüência entre 1,5 e 4%, condições que apresentar ISC baixos, da ordem de 3-7% e expansividade entre 1,5 e 4%, condições que, purpuradas, devem a presença de argilas expansivas. Estes solos tendem a apresentar ISC baixos, devendo a presença de argilas expansivas. As condições geotécnicas inferiores ao horizonte B, especialmente quando mostram cores rosas, características inferiores ao horizonte C da zona amigdalóide mostra

Geotécnicamente, tem-se observado, que o horizonte C da zona amigdalóide mostra grande capacidade de troca iônica, devendo a predominância de argilas do grupo das argilosas, que quando jovem, como o horizonte C, mostra-se muito plástico, expansivo, com solo, comparativamente com as demais zonas, originando um solo essencialmente granular, que se alterabilida, a zona amigdalóide tende formar maior espessura de esmectitas.

Devido sua grande alterabilidade, a zona amigdalóide tende formar maior espessura de argilosa, que quando jovem, origina um solo essencialmente

10.1.2.8.1.1 Solos derivados da Zona Amigdalóide

Estando os solos derivados intimamente relacionados com a rocha que lhe deu origem, torna-se necessário diferenciar a zona do derame, em área de ocorrência de basalto.

10.1.2.8.1.1.1 Solos derivados da Formação Serra Geral

Para a obtenção das características geotécnicas gerais dos solos, coletou-se dados correspondentes unidas estratigráficas. Com esta metodologia foram obtidos os resultados em projetos de rochas, que formam análises e correlacionados com as segundas indícias geotécnicas gerais para os solos derivados de unidades geológicas:

Considerando-se as condições climáticas de drenagem semelhantes, a rocha passa a constituir como um fator fundamental, determinante das características dos solos de terra aterrásses, especialmente em relação ao horizonte C. Assim, mudando a litologia, haverá a correspondente alteração do tipo de solo e, consequentemente, dos parâmetros geotécnicos.

10.1.2.8.1.1.2 Caracterização geotécnica dos solos

Especificamente na região, os solos Litolicos ocorrem associados aos Cambissolos eutróficos, em relevo montanhoso, a forte ondulado e ainda com Terra Roxa eutrófica, em relevo forte ondulado a ondulado.

Os solos Litolicos eutróficos, na sua grande maioria, são derivados de rochas eruptivas basálticas, e utilizados com milho, feijão, em menor proporção, com trigo, soja, batatinha,

São solos inadecuados para a agricultura mecanizada, devendo principalmente ao relevo acidentado, a pequena espessura e a presença de pedras, calhaus e matagens na superfície. A deficiência de água e também um fator limitante ao uso destes solos, pois a pouca profundidade não permite o armazenamento suficiente de água.

Grandes escorregamentos tem se verificado, tendo como causa a alterabilidade diferencial entre as zonas do derame basáltico. Como as zonas amigdaloides, vitrea e tabular mostram uma alterabilidade bem maior do que a zona colunar, é comum ocorrerem escorregamentos de grandes proporções, pois o solo proveniente da alteração da zona amigdaloides, se mostra muito plástico e não suporta o peso da massa escorregante de forma quebrada, estando a rocha situada acima. Nestes locais, a estabilidade somente é alcançada, quando esta intercalação de argilosa, plástico fértil contida. Tal condicionamento geotécnico tem se verificado em muitos cortes de rodovias implantadas no Estado.

Quando este condicionamento não é detectado previamente num corte, pode-se indicar um escorregamento de grande proporção, pois o solo proveniente da alteração da zona amigdaloides, estando intercalado é muito instável, instabilizando também a rocha sotoposta.

Grandes escorregamentos tem se verificado, tendo como causa a alterabilidade diferencial entre as zonas do derame basáltico. Como a zona colunar, é comum ocorrerem escorregamentos de argilosa, estando intercalada com argila sotoposta.

A grande maioria dos cortes em rocha basáltica mostram-se estáveis com inclinações 4:1 (V:H). Podem ser recomendada uma inclinação de até 3:2 (V:H), quando o fraturamento for muito intenso.

Outros solos que mostram instabilidade, são os depósitos coluviais, portanto transportados, derivados do basalto, especialmente quando apresentarem percolação de água.

A grande maioria dos solos derivados do basalto mostram estabilidade com inclinações de 1:1. Até que especial deve ser dispensada, aos solos correspondentes ao horizonte C, da zona amigdaloides, quando sua coloração for rosa, purpura ou esverdeada, devido a grande plasticidade e expansividade da argila.

10.1.2.9.1 Estabilidade de taludes para a Formação Serra Geral

A estabilidade ou solos derivados de talude tem relação com drenagem, estrutura, tipo de rocha e seus solos derivados. Observando-se a estabilidade dos cortes existentes nas diversas unidades estratigráficas e com diferentes inclinações de talude, conseguem-se determinar um parâmetro de comportamento, que evidenciam a estabilidade com diferenças entre as sequinhas unidas estratigráficas: para as sequinhas unidas estratigráficas:

1:1. Até que especial deve ser dispensada, aos solos correspondentes ao horizonte C, da zona amigdaloides, quando sua coloração for rosa, purpura ou esverdeada, devido a grande plasticidade e expansividade da argila.

10.1.2.9. Estabilidade de taludes

Os solos derivados da zona tabular apresentam características semelhantes aos da zona colunar, com peduncações decorrentes da textura, estrutura e forma de ocorrência.

10.1.2.8.1.4 Solos derivados da Zona Tabular ou de Fraturamento Horizontal

Com freqüência, os solos correspondentes ao horizonte B, de coloração marrom avermelhada, podem ser classificados como solos lateríticos, devendo ao elevar o teor de óxidos de ferro e de alumínio, sendo recomendável a inclinação desse solo como caixa de empastimo.

As regiões geomorfológicas se caracterizam por um comparativamente ligadas a fatores climáticos atuais ou passados regionalmente e estão essencialmente ligadas a fatores climáticos atuais ou passados

No mapaamento geomorfológico, os tipos de modelados são separados de acordo com a genese ou energia do relevo e definidos sob o título de Modelados de Acumulação. Modelados de Apianamento e Modelados de Dissolução.

10.1.2.12 Geomorfologia

Já nas Terras Roxas Estruturadas a predominância da textura argilosa empresa menor quando a declividade for elevada, devido a percolação da água no contato solo/rocha.

Mesmo os Latossolos mostram certa sensibilidade à erosão, devido ao grumos formados pelas argilas e os hidroxídios de ferro e alumínio.

A maior sensibilidade à erosão é manifestada pelo horizonte C dos solos derivados do basalto, por formarem uma granulometria predominante siliosa e silico argilosa, onde o silt é um tamанho de grão muito sensível à erosão.

10.1.2.11 Sensibilidade à erosão

Estas características hidrogeológicas podem estar alteradas, quando faihamentos secionam os diferentes derreamos, interligando as zonas de maior e menor permeabilidade.

Foi constatado também em escavações efetuadas para barragens, pedreiras, em áreas de corredor de derreamos basálticos. Foi constatado também em conjunto formado pelas zonas amigdalide, vitrea e tabular. Água, quando atravessa derreamos diversos, há entrada de água em diversas cotas, que ocorrem a cerca de derreamos basálticos.

Este condicionamento hidrogeológico tem sido comprovado em pôcos tubulares para derame superior, com a amigdalide do derame inferior, mostra uma descontinuidade e nos derreamos basálticos do sul do Brasil, como também, nos derreamos do Estado de Washington, USA.

Este fato faz com que haja fluxo da água na horizontal em cada conjunto formado pelas zonas amigdaliode, vitrea e tabular, isolados pelas zonas columnares. Esta característica hidrogeológica foi identificada por V. Lein (1949), que constatou o aparecimento de fontes, surgências de água na encosta do vale, nas faixas compreendidas pelas zonas tabular, vitrea e amigdaliode.

Os derreamos basálticos apresentam uma característica hidrogeológica peculiar, devido a permeabilidade diferente das zonas dos derreamos. Num sucesso de derreamos o conjunto formado pelas zonas amigdaliode, do derame inferior e vitrea, mais tabular do derame superior mostra uma permeabilidade maior do que a zona columnar.

10.1.2.10 Características hidrogeológicas

é ou fatores litológicos. As unidades geomorfológicas consistem no arranjo de forma relevante fisicamente semelhantes em seus tipos de modelados. Especificamente a região de Chapecó está situada na unidade geomorfológica do Planalto dos Campos Gerais (Atlas de Santa Catarina - GAPLAN - 1986). O Planalto dos Campos Gerais apresenta-se distribuído em blocos de relevos isolados pela Unidade Geomorfológica Planalto Disselado Rio Iguaçu/Rio Uruguai. Sua área é de 19.496 km², que corresponde a 20,31%.

Os compartimentos de relevo resultantes da descontinuidade espacial da unidade são conhécidos regionalmente com planalto de Palmáias, planalto do Capanema, planalto de Campos Novos e planalto de Chapecó.

Estes compartimentos estão situados topograficamente acima das circundâncias (Planalto Disselado Rio Iguaçu/Rio Uruguai) e correspondem a restos de uma superfície de planície de disselamento. A fragmenção desenvolvida ao longo dos principais rios da área como o Canoas, processo de disselado desenvolvido ao longo dos principais rios da área como o Canoas, a parte oeste do planalto de Chapecó, chegando a 600 m.

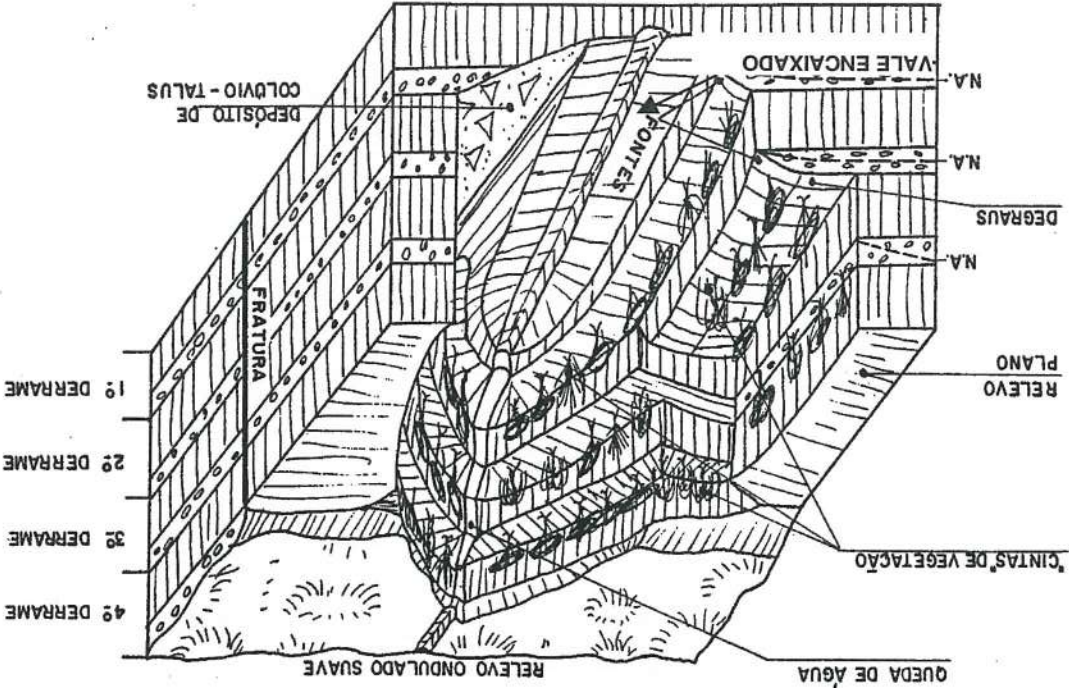
As cotas altimétricas maiores elevadas ocorrem na porção leste da unidade, ultrapassando 1.200 m, na proximidade da cuesta da Serra Geral, enquanto as menores correspondem a drenagem. Assim é que o planalto de Palmáias e o de Capanema constituem divisórios entre a drenagem para os rios Iguaçu, Uruguai e Itajaí-Açu. Os rios maiores, Pelotas, Canoas e Chápecó, ao drenarem áreas desta unidade, mostram geralmente vales encachados, com patamares dissimilados nas encostas e curtos tortuosos, com algumas curvas meandrinas, com resultados culturais, que correspondem principalmente a latossolos, permitindo a erosões ligadas ao escoamento superficial, evidenciado pela formação de sulcos nas instalações de uma agricultura mecanizada, nesta área. Isto tem acelerado os processos geomorfológicas, bem como sua distribuição espacial. Assim, é que o planalto de Campos Gerais, apresenta-se dividido em quatro blocos de relevo com outras unidades Campôs Novos apresentando um bloco contínuo, que borda todo o limite oriental dos domínios de rochas como um bloco semelhante, enquanto o de Campos Novos apresenta-se dividido, por exemplo, apresenta-se dividido em quatro blocos de relevo com Chápecó, bem como sua distribuição espacial. Assim, é que o planalto de Campôs Novos apresenta-se dividido em quatro blocos de relevo, que compõe, neste momento, o Planalto dos quatro compartimentos de relevo.

O fato do relevo desta unidade geomorfológica ser de pouco disselado a planar, recoberto pelas formações superficiais, que correspondem principalmente a latossolos, permitindo a erosões ligadas ao escoamento superficial, evidenciado pela formação de sulcos nas instalações de uma agricultura mecanizada, nesta área. Isto tem acelerado os processos geomorfológicas, bem como sua distribuição espacial. Assim, é que o planalto de Campôs Novos apresenta-se dividido em quatro blocos de relevo com outras unidades Campôs Novos apresentando um bloco contínuo, que borda todo o limite oriental dos domínios de rochas como um bloco semelhante, enquanto o de Campôs Novos apresenta-se dividido, por exemplo, apresenta-se dividido em quatro blocos de relevo com Chápecó, bem como sua distribuição espacial. Assim, é que o planalto de Campôs Novos apresenta-se dividido em quatro blocos de relevo, que compõe, neste momento, o Planalto dos quatro compartimentos de relevo.

Quanto ao contato com outras unidades geomorfológicas ele ocorre à vezes de forma escarpamento de forte desnível, como na porção sul do planalto de Chapecó.

A presençal de argiloso gerado pelo alteração das zonas tabulares, vitrea e amigdaloides, favorece o crescimento da vegetação, originando "cintas de vegetação" longo da encosta do vale, aproximadamente em uma mesma cota. Estas "cintas de vegetação" formam-se imediatamente na encosta do vale, após a utilização das zonas degradados como critério de basálticos e do número de derames, pois podem ser utilizadas como base para a formação de "cintas de vegetação".

Fig. 10.3 Morfologia dos derames basálticos no sul do Brasil



Otra característica também identificada por V. Lein (1949) para os derames basálticos, é o aparecimento de fontes, surgências de água na encosta do vale, nas faias compreendidas pelas zonas tabulares, vitrea e amigdaloides. Isto se deve a um permeabilidade destas zonas em comparação com a zona colunar. Desta modo, há um fluxo horizontal da água, que é secionado pela encosta.

Outra característica também identificada por V. Lein (1949) para os derames basálticos, é a aparência de amigdaloides, como pode ser visualizado na figura 10.4. Tabular, vitrea e amigdaloides, onde ocorre a zona colunar e suavizá-la, onde ocorre o conjunto zona escarpa, onde ocorre uma superfície escarpada na encosta. Desta forma, a encosta do vale que mostará uma superfície escarpada na encosta. Se apresentará com a forma de basalto, disposta na zona colunar, por ser constituída por prismas alongados de basalto,

que se manifesta na encosta como uma suavização. Como os solos argilosos tendem produzir relevo ondulado suave, este relevo se manifesta na encosta como uma suavização. O conjunto forma zonas tabulares, vitrea, de um derame superior e amigdaloides do interior, mostram uma alterabilidade maior do que a zona colunar e produzir solos argilosos. Como os solos argilosos tendem produzir relevo ondulado suave, este relevo se manifesta na encosta como uma suavização.

10.1.2.1.1 Geomorfologia dos derames basálticos

O derame inferior tem a zona amigdaloidé entre as cotas 626 e 623 m, com coloração marrom avermelhada, vesículas e amigdalas. Segue a zona colunar desse derame, constituída por um basalto cinza escuro, equigranular fino, maciço (Fig. 10-4). Sob esta zona amigdaloidé alterada, ocorre o basalto colunar do derame superior, entre as cotas 647 e 626 m, formado por um basalto equigranular fino, cinza escuro, maciço, com fraturamento espacado de 10 a 80 cm (Fig. 10-5).

O horizonte C varia de silício argiloso a argilo silílico, com coloração amarelo avermelhada e espessura de 2 a 2,5 m. Neste local da pedreira, os solos derivados da zona amigdaloidé horizontalmente esteja posicionada entre as cotas 652 e 647 m. Esta zona amigdaloidé mostre-se totalmente alterada a solo, representada por seus horizontes B e C (Fig. 10-5).

O derame superior pode ser visto na bancada superior da pedreira, onde a zona amigdaloidé está posicionada entre as cotas 652 e 647 m. Esta zona amigdaloidé mostra-se totalmente alterada a solo, representada por seus horizontes B e C (Fig. 10-5).

Nesta pedreira, distinguem-se dois derames basálticos denominados de derame inferior e derame superior na bancada inferior da pedreira (ver mapa geológico).

O derame superior ocorrem maior número de derames em cotas inferiores (ver mapa geológico). O derame superior pode ser observado na bancada superior da pedreira e o derame inferior na bancada inferior da pedreira (Fig. 10-4).

Na investigação da geologia da Área I, torna-se indispensável observar a Pedreira Baldissera, proxima, em exploração, pois as exposições dos derames basálticos permitem uma boa visualização das zonas dos derames e a determinação das cotas de contato.

10.1.2.13.2 Geologia da Área I e a zona de influência direta do aterro industrial

A Área I está situada junto aos galpões que formam a Central de Tragem, Venda, Amazonas e Provisório, logo a nota é a desse da estrada que dá acesso à Pedreira Baldissera (ver mapa geológico – anexo 6).

Nas inspeções preliminares, foram identificadas duas áreas com potencial para a instalação do aterro sanitário industrial, identificadas como Área I e Área II.

10.1.2.13.1 Localização da Área I - alternativa para o aterro industrial

10.1.2.13 Estudo de alternativa de áreas para o aterro industrial

Além de alterarem o comportamento hidrogeológico, os faihamentos podem alterar também as características geomorfológicas da drenagem, pois podem fazer com que a drenagem passe a escorrer ao longo de direções comandadas pela estrutura da rocha, caracterizando um drenagem encaxiada, que pode apresentar diferentes padrões.

Nas inspeções preliminares, foram identificadas duas áreas com potencial para a instalação do aterro sanitário industrial, identificadas como Área I e Área II.

10.1.2.13.2 Estudo de alternativa de áreas para o aterro industrial

Quedas, Serra do Rio do Rastro, Apaрадos da Serra, Feijões como esta, podem ser identificadas com facilidade na Catartas do Iguaçu, Sete Quedas, Serra do Rio do Rastro, Apaрадos da Serra.

Otra possibilidade de identificação do número de derames basálticos, consiste na observação direta por encaminhamento de campo, ao longo de uma estrada, através de sondagem, com a identificação da sucessão das zonas.

A maior permeabilidade da zona amigdaloide, comparativamente à zona colunar fica evidenciada, quando se observa a bancada inferior da pedreira e constata, que a aqua percolada ao longo da zona amigdaloide, como pode ser visto na foto nº 03.

Segundo-se pela estrada que dá acesso à Pedreira Baldisserra, portanto o limite leste da Área I, constata-se no talude, entre as linhas B e C a ocorrência do horizonte C do riocacto porfiro, correspondendo a cota 675 m. Nestes mesmos taludes, entre as linhas C e D, aflora o riocacto porfiro alterado e entre as linhas D e E o riocacto está sao. Este riocacto é de coloração marrom avermelhada, textura porfira, na qual se destaca os feldspato potássicos de 0,5 a 0,8 cm, euédricos, imersos em matriz microcristalina. A rocha mostra planos claros, que correspondem aos planos fluidais, por onde a rocha tende fracturar (Fig. 10-7).

Oeste do galpão da Central de Triagem, Venda, Armazémamento Provisório, na área de tratamento de efluentes, o basalto colunar afiora, na cota 661 m, indicando ocorre mais um derame basáltico acima da bancada superior da pedreira.

A maior parte da Área I, situada entre as cotas 660 e 670 m (Fig. 10-8), está encoberta por blocos em seu meio. Formado por uma argila siliosa avermelhada, com pedra, matacões e um depósito colunal, formado por uma argila siliosa avermelhada, com pedra, matacões e derame superior identificado na pedreira.

O questionário foi utilizado de duas formas, através de mala direta enviada às empresas pre-selecionadas e através de pesquisa de campo, onde um entrevistador foi pessoalmente obter as informações nas empresas escolhidas.

Desses listas foram feitos cruzamentos e pre-selecionou-se 168 establecimentos industriais e comerciais, dentre os quais estavam os maiores geradores de resíduos no município.

Destas empresas ou em processo de licenciamento.

- FATMA - Fundação do Meio Ambiente de Santa Catarina - lista das empresas licenciadas no ano de 1999;

- ACIC - Associação Comercial e Industrial de Chápecó - lista dos associados;

- Prefeitura Municipal de Chápecó - Empresas ganhadoras do "Troféu o Desbravador"

Para escolha das empresas que seriam inventariadas, foram pesquisadas três listas de empresas no município, que tiveram as seguintes origens:

O inventário consistiu na elaboração de um questionário resumido e objetivo, onde os aspectos inventariados formam a produtão, o número de empregados, os resíduos gerados, o destino atual dos resíduos e a forma de coleta dos mesmos.

Chápecó e da Prefeitura Municipal de Chápecó.

O inventário teve o apoio fundamental da ACIC - Associação Comercial e Industrial de Chápecó.

O inventário obtém grande sucesso com o objetivo de diagnosticar a realidade e orientar os gestores das empresas comerciais no município de Chápecó.

Devido a falta de dados consistentes em relação a geragão de resíduos industriais e comerciais.

6.3.2 Pesquisa de dados da geragão atual

Em virtude disso, decide-se pela realização de um novo inventário de resíduos industriais comerciais no município de Chápecó.

Todos esses fatos destacam a necessidade de dados em relação a quantidade e tipologia dos resíduos industriais no município de Chápecó.

Além disso, cerca de 600 questionários, mas não obtive resultados satisfatórios, devido ao baixo retorno dos questionários enviados.

O programa de Gerenciamento Ambiental liberal, também com o objetivo de diagnosticar a geragão de resíduos industriais no município de Chápecó, de janeiro a junho de 2000,

efetivamente não aconteceu em todo estado de Santa Catarina.

Apesar da resolução CONAMA Nº 06 de 15 de junho de 1989, ter determinado aos órgãos ambientais a elaboração do inventário Nacional de Resíduos Sólidos Industriais, este

6.3.1 Fontes de dados existentes

industriais e comerciais

6.3 Caracterização qualitativa e quantitativa da geragão de resíduos

Os dados obtidos nas entrevistas e nas respostas da malha direta foram homogeneizados e tabulados, de forma que, foi possível fazer a avaliação qualitativa e quantitativa em toneladas mensais geradas.

6.3.3 Análise de dados

As empresas pre-selecionadas formam agrupadas por ramo industrial e comercial, e dentro de cada ramo seletionados os principais geradores, e estes, formam visitados de forma direta podermos ser detectados através dos dados obtidos nas entrevistas às empresas de confiabilidade nos dados obtidos, pois dados discrepantes recebidos através da malha geradora. Dessa forma, a metodologia utilizada no inventário, proporcionalmente na fonte pessoalmente por um entrevistador que obtive as informações diretamente na fonte de cada ramo seletionados os principais geradores, e estes, formam visitados de forma similar.

Fonte: Inventário Municipal de Resíduos Industriais e Comerciais de Chapecó (PROSUL - 2000)

Ramo Industrial / Comercial	número de estabelecimentos pre-selecionados	Total de estabelecimentos pre-selecionados
Metal mecânica	38	168
Madeira	17	
Papel, papelão	1	
Tintas	1	
Produtos químicos	5	
Plásticos	12	
Calçados	1	
Alimentícias	31	
Bebidas	1	
Construções civis	9	
Fibras (fábricas de câmaras frigoríficas e caixas d'água de fibra)	6	
Postos de combustíveis	14	
Oficinas mecânicas	13	
Confecções	8	
Agropecuárias	5	
Borrachas	6	
Total de estabelecimentos pre-selecionados		168

Tab.6.1 – Estabelecimentos pre-selecionados a serem inventariados

Das principais resíduos classe I identificados foram tecidos contamindados por óleo combustível oriundos de postos de gasolina e oficinas mecânicas, solventes restantes de limpeza de peças, lampadas e resíduos de chumbo e zinco resultantes de processos de galvanização.

Das 159 empresas consideradas para os resultados finais, foram inventariadas estimadas 1.798 toneladas por mês de geragão de resíduos, que tem os seguintes destinos:

Tipo de resíduo (NBR 10004)	[Unidades]	[Unidades]	Fonte: Inventário Municipal de Resíduos Industriais e Comerciais
Resíduos perigosos (classe I)	19.3	1736.8	Resíduos não inerteres (classe II)
Resíduos perigosos (classe I)	41.8	1736.8	Resíduos inerteres (classe III)
Resíduos perigosos (classe I)	231.3	1736.8	Resíduos não inerteres (classe II)
Resíduos perigosos (classe I)	2084.8	2084.8	Resíduos inerteres (classe III)
Resíduos inerteres (classe III)	510.8	510.8	Resíduos inerteres (classe III)

Tab. 6.2 – Resumo quantitativo e qualitativo dos resíduos gerados

Os resultados finais obtidos nas campanhas do Inventário Municipal de Resíduos Sólidos Industriais e Comerciais do município de Chápecó, são apresentados de forma sintética e resumida, com base em dados levantados e extrapolados, as quantidades geradas por empresas, com base em dados levantados e extrapolados, a que equivale a 94% do universo das empresas pre-selecionadas.

Foram deixadas fora do processo de extrapolação, 9 (nove) empresas pre-selecionadas, pertencentes ao ramo de construção civil, por não haver dados levantados de empresas do mesmo ramo empresarial.

Foram deixadas fora do processo de extrapolação, 9 (nove) empresas pre-selecionadas, respondem ao questionário enviado no inventário.

Com base nos dados levantados nas empresas efetivamente inventariadas, dos grupos de empresas de ramos similares e do porte de valores de geragão de resíduos para as empresas que não uma extrapolaga dos valores de geragão de resíduos para as empresas que não respondem ao questionário enviado no inventário.

Dos 168 establecimentos pre-selecionados para o inventário, obteve-se resposta a 27 empresas, de diversos ramos industriais e comerciais do município de Chápecó que respondem a questionário e foram entrevistados 16% do universo pre-selecionado.

6.3.4 Conclusões

Uso-se uma taxa média de crescimento do setor industrial de 5,0% a.a. para fazer uma projeção para a variação da geração de resíduos industriais no futuro, mas, sem dúvida, apenas uma estimativa, pois, sabe-se que nos dias de hoje, com a implementação de tecnologias produtivas, não se pode afirmar diretamente o crescimento industrial à geração de resíduos, e fazer previsões em relação ao crescimento industrial é a geração de resíduos, que poderão influenciar nesse crescimento, tais como:

- atratividade do município à implantação de novas indústrias;
- desenvolvimento das técnicas de reciclagem;
- comportamento macro econômico, etc.

Como parâmetro a ser usado nos estudos de vida útil do empreendimento, será usado o valor de 1.064 toneladas por mês (ver tabela 6.3), que equivalem a 35,4 toneladas por dia, a qual será aplicada uma taxa de 5,0% a.a. de crescimento.

Em virtude do retorno parcial dos questionários enviados, os resultados finais apresentados, principalmente os ligados às quantidades geradas no município de Chapecó, podem apresentar discrepâncias em relação às quantidades realmente geradas.

Com exceção das grandes indústrias que formam entre si (comércio, serviços, indústria, comércio), que conciliaram a utilização de todos os dados.

Em junho de 2000 pelo programa liberado (op. Citi), não colaboraram efetivamente na divulgação das empresas comerciais do município, mas uma vez, como concluiu o inventário realizado em junho de 2000 pelo próprio município, mais de 50% das empresas industriais que realizaram o inventário (com exceção das grandes indústrias que formam entre si), e as grandes empresas comerciais do município, que conciliaram a utilização de todos os dados.

Destaca-se na tabela 6.3 a quantidade de 1064 toneladas por mês, que equivalem a 35,4 toneladas por dia, as quais tem como destino final o aterro sanitário municipal, composto principalmente por resíduos oriundos de postos de gasolina e de grandes oficinas mecânicas.

Dentre os outros destinos mencionados estão principalmente, a queima dos resíduos, o tratamento dos resíduos na própria empresa e a coleta por terceiros que dão o destino final, e este é desconhecido.

Destaca-se na tabela 6.3 a quantidade de 1064 toneladas por mês, que equivalem a 35,4 toneladas por dia, que conciliaram a utilização de todos os dados.

Fonte: Inventário Municipal de Resíduos Industriais e Comerciais

Destino	quant. [T/mes]	%
Comercializado	35.9	
Reaproveitado	1.6	
Reciclado na fonte	0.3	
Depositado no aterro sanitário municipal	1064	59.2
Estockado	2	0.1
Outros destinos	53	2.9

Tab. 6.3 – Destino dos resíduos inventariados

Na região sul do município de Chapeceó, existe a reserva indígena demarcada de Toledo Chimbangue ($A=988 \text{ ha}$), inserida nas bacias dos rios Japeador e Iajeado Sítio Velho ambos afluentes do rio Irami.

7.3 Reservas indígenas

Existem iniciativas para implantação de um contorno rodoviário no município de Chapeceó, rodovia que liga a SC-468, vinda do Rio Grande do Sul, com a BR-282, que cruza o estado de Santa Catarina no sentido leste / oeste. O trânsito prové a passagem pela área pelo lado leste, alcançando a BR-282, próximo ao município de Coronel Fritas. Tal empreendimento facilitaria o acesso do distrito industrial para a Cetrc, e viabilizará o transporte de resíduos perigosos vindos das regiões noroeste e central do estado.

7.2 Contorno rodoviário de Chapeceó

A instalação do distrito industrial na localidade de Rodéo Cható e a instalação da Cetrc Chapeceó/SC na localidade de Águia Amarela, fará com que estes dois empreendimentos relativamente pequenos e que não passaram por áreas densamente urbanizadas. Atualmente, as maiores empresas instaladas no município de Chapeceó, estão localizadas na região oeste da área urbana, consequentemente o trajeto do trânsito de resíduos para a Cetrc Chapeceó/SC passaria por uma região intensamente urbanizada e central do município.

No intuito de promover o crescimento industrial chapeceense, existe na prefeitura de Chapeceó a previsão da implantação de um distrito industrial na localidade denominada Rodéo Cható, na direção sul do município.

7.1 Distrito industrial municipal de Chapeceó

A verificação de programas colocalizados visa, numa escala de planejamento estratégico regional, mapear quaisquer planos ou projetos previstos que possam influenciar ou sejam influenciados pela implantação de empreendimentos similares na região, procurando destacar informações que apontem para a viabilidade econômica de sua realização.

7 PROGRAMAS COLOCALIZADOS

Na FUNAI, existem identificadas e em processos de demarcação as reservas indígenas Toledo Chimbangue II ($A=968$ ha) e Aldeia Condá ($A=2300$ ha), a primeira localizada a montante da reserva Toledo Chimbangue e a segunda localizada na bacia do rio Monte Allegre.

A presença de tais reservas indígenas, em regiões que, de acordo com o plano diretor municipal, apontam os vetores de crescimento industrial, trazem nesse momento, as preoccupações e aletras para o devido controle e monitoramento das atividades desenvolvidas nas regiões a montante das bacias onde as reservas estão inseridas, visando preservar os recursos hídricos, uma vez que são recursos indispensáveis para a qualidade de vida das comunidades indígenas.

- Lei Nº 6.938/81 - estabelece a Política Nacional do Meio Ambiente, que tem por objetivo "a preservação, no país, condicões ao desenvolvimento socio-econômico, aos interesses da segurança e a proteção da qualidade ambiental propicia a vida, visando assegurar, no país, condições ao desenvolvimento socio-econômico, aos objetivos "a preservação, no país, melhora e recuperação da qualidade ambiental propicia a vida, visando assegurar, no país, condições ao desenvolvimento socio-econômico, aos interesses da segurança e a proteção da vida humana...";
 - Lei Nº 6.938/81 - estabelece a Política Nacional do Meio Ambiente, que tem por ao meio ambiente e ao patrimônio histórico e cultural.
- ao meio ambiente e ao patrimônio histórico e cultural.
- que visa anular ato lesivo ao setor público. Destaca-se, ainda que, em seu Artigo 5º item LXXXIII, determina que o conceito de responsabilidade é a possibilidade de sangão civil e penal para os órgãos utilização dos recursos naturais é ao patrimônio cultural. Em especial, amplia a Dos Iídios. Nestes capítulos são instituições cuidados e restrições em relação a Educação, Da Cultura e do Desporto, Capítulo VI - Do Meio Ambiente e Capítulo VIII - capítulos de importância em relação ao Ordem Social - três Constituição Federal de 1988 - apresenta no Título VIII - Da Ordem Social -

legislagão ambiental em vigor:

de apoio aos procedimentos para o licenciamento ambiental estão estabelecidos pela legal e institucional composto por diversos instrumentos legais. Os principais instrumentos de apoio das questões ambientais destinadas final de resíduos legais, a implantação de aterros sanitários, processamento e destinação final de resíduos tóxicos ou perigosos, bem como suas diversas atividades associadas ou assim, a implantação de aterros sanitários, processamento e destinação final de resíduos tóxicos ou perigosos, bem como suas diversas atividades associadas ou interessados.

O processo de licenciamento ambiental reflete, como suafinalmente estabelecido, uma busca de partícipes crescente da população nos procedimentos decisões, quer pelo tipo de envolvimento do órgão licenciador, quer pela previsão de situações de discussão entre os interessados.

que o Poder Público efetivamente poluidora, a elaboração de estudo de impacto ambiental ou estudo de monitoramento. Em contrapartida, planos de controle ambiental e programas de monitoramento. O Poder Público outorga ao interessado as licenças ambientais cabíveis.

que o Poder Público, estabelece que os interessados em desenvolver atividade potencial ou de definição-ló e preservá-lo para as presenças e futuras gerações." Prosegue, incumindo o Poder Público de exigir, para instalação de obra ou atividade potencialmente causadora de significativa degradação do meio ambiente, estudo previo de impacto ambiental, ao que se dará publicidade.

A Constituição Federal, promulgada em 1988, determina, em seu artigo 225 que: "Todos tem o direito ao meio ambiente ecologicamente equilibrado, bem de uso comum do povo e dessencial a satisfação de vida, impondo-se ao Poder Público e a coletividade o dever de defendê-lo e preservá-lo para as presenças e futuras gerações." Prosegue, incumindo o Poder Público de exigir, para instalação de obra ou atividade potencialmente causadora de significativa degradação do meio ambiente, estudo previo de impacto ambiental, ao que se dará publicidade.

8 ASPECTOS LEGAIS DO EMPRENDIMENTO

- Atividades efetiva ou potencialmente poluidoras, o Cadastro Técnico Federal de Atividades Poluidoras ou Utilizadoras ou Utilizadoras de Impactos Ambientais (autualizado pela Lei nº 7.804/89) e a disponibilidade de impactos ambientais que dependem de licenciamento do órgão ambiental competente das atividades que utilizam recursos ambientais, consideradas efetivas ou potencialmente poluidoras ou capazes de causar degredação ambiental e que serão exigido EIA e respectivo Rima a serem submetidas a aprovação dos órgãos ambientais competentes. Dentro das atividades exemplificadas, constam os ativos sanitários, processamento de destino final de resíduos tóxicos ou perigosos.
 - Decreto nº 99.274/90- regulamenta a Política Nacional do Meio Ambiente e estabelece que depende de licenciamento a disponibilidade de impactos ambientais das atividades que dependem de licenciamento do órgão ambiental competente das atividades que utilizam recursos ambientais, consideradas efetivas ou potencialmente poluidoras ou capazes de causar degredação ambiental e que serão exigido EIA e respectivo Rima a serem submetidas a aprovação dos órgãos ambientais competentes. Dentro das atividades exemplificadas, constam os ativos sanitários, processamento de destino final de resíduos tóxicos ou perigosos.
 - Decreto CONAMA nº 006/86 - estabelece os modelos de publicação de pedidos de licenciamento, em qualquer de suas modalidades, sua renovação e a respectiva concessão da licença.
 - Decreto CONAMA nº 020/86 - estabelece a classificação das águas doces, salobras e salinas segundo seu uso predominante.
 - Decreto CONAMA nº 009/87 - dispõe sobre a realização de audiência pública para exportar o empreendimento e seu respectivo RIMA aos interessados, dirimindo divergências entre os presentes as críticas e sugestões a respeito.
 - Decreto CONAMA nº 001/88 - estabelece critérios e procedimentos básicos para implementação do Cadastro Técnico Federal de Atividades e Instrumentos de Defesa Ambiental, previsto na Lei nº 6.938/81.
 - Decreto CONAMA nº 002/96 - estabelece que, para fazer face a preparação dos danos ambientais causados pela destruição de florestas e outros ecossistemas, o licenciamento ambiental, de forma a efectivar a utilização do sistema de licenciamento como instrumento de gestão ambiental, instituído pela Política Nacional do Meio Ambiente.
 - Decreto CONAMA nº 237/97 - reúne os procedimentos e critérios utilizados no licenciamento ambiental, de forma a efectivar a utilização do sistema de licenciamento como instrumento de gestão ambiental, instituído pela Política Nacional do Meio Ambiente.
 - Decreto CONAMA nº 1.413, de 14/08/75;
- Cabe citar os seguintes instrumentos legais pertinentes aos resíduos industriais.
- **Legislação pertinente aos resíduos industriais**

- **Legislação municipal**
 - Lei Complementar nº 04/90 – institui o Plano Diretor Físico-Territorial de Chapecó, onde consta normas gerais de controle ambiental, de proteção das águas e do solo e do controle dos resíduos sólidos.
- Decreto nº 14.250 de 05 de junho de 1981, que regulamenta os dispositivos da Lei nº 5.793/80, referentes à proteção e a melhoria da qualidade ambiental. Como ponto de destaque, o decreto estabelece que a instalação de atividades consideradas potencialmente causadoras de degradação ambiental dependerá da aprovação de licença ambiental previa, de instalação e de operação.
- Decreto nº 14.250 de 05 de junho de 1981, que regulamenta os dispositivos da Lei nº 5.793 de 15 de outubro de 1980, que dispõe sobre a proteção e melhoria da qualidade ambiental. Esse lei, ressalva a competência da União, estabelece normas gerais visando à proteção e melhoria da qualidade ambiental e da outras providências. Essa lei, ressalva a competência da União, estabelece normas gerais visando à proteção e melhoria da qualidade ambiental.
- Lei nº 5.793 de 15 de outubro de 1980, que dispõe sobre a proteção e melhoria da qualidade ambiental e da competência da União, estabelece normas gerais visando à proteção e melhoria da qualidade ambiental.

● Legislação estadual

- Decreto nº 875, de 19/07/93;
- Decreto nº 98.816, de 11/01/90;
- Decreto nº 96.044, de 18/04/88;
- Decreto nº 88.821, de 06/10/83;
- Decreto nº 76.389, de 03/10/75;
- Portaria nº 53, de 01/03/79;
- Portaria nº 157, de 26/10/82;
- Portaria nº 261, de 11/04/89;

O Decreto N° 99.274/90 estabelece que dependerão de licenciamento do órgão ambiental competente as atividades capazes de causar degredação ambiental e que será exigido daquele que o tipo de empreendimento ou atividade esteja em conformidade com a legislação aplicável ao uso e ocupação do solo.

ELA e respectivo Rio para fins de licenciamento, contendo: diagnóstico ambiental, descrição da ação proposta e suas alternativas e identificação, análise e previsão dos impactos significativos, positivos e negativos.

O Decreto N° 99.274/90 estabelece que depende da licenciamento do órgão ambiental competente as atividades capazes de causar degredação ambiental e que será exigido daquele que o tipo de empreendimento ou atividade esteja em conformidade com a legislação aplicável ao uso e ocupação do solo.

Rima

8.2 Estudo de impacto ambiental – ELA e Relatório de impacto ambiental –

O artigo 10 § 1º da Resolução CONAMA N° 237/97, estabeleceu ainda que no procedimento de licenciamento ambiental deverá constar obrigatoriamente, as certidões de licenciamento emitidas das municipalidades abrangidas pelo empreendimento, com as medidas de controle ambiental e condicionantes determinados para a operação.

O artigo 10 § 1º da Resolução CONAMA N° 237/97, estabeleceu ainda que no procedimento de licenciamento ambiental deverá constar das licenças anteriores, com as medidas de controle ambiental e condicionantes determinados para a operação.

III - Licença de Operação (LO) - autoriza a operação da atividade ou empreendimento, após a verificação da efetiva cumprimento do que consta das licenças anteriores, com as medidas de controle ambiental e condicionantes determinados para a operação.

II - Licença de Instalação (LI) - autoriza a instalação a empreendimento ou atividade incluíndo as medidas de controle ambiental e demais condicionantes da qual constituiem acordo com as especificações constantes dos planos, programas e projetos aprovados, motivo determinante;

I - Licença Prévia (LP) - concedida na fase preliminar do planejamento do empreendimento ou atividade que aprova os requisitos básicos e condicionantes a serem atendidos nas proximas fases de sua implementação.

No Artigo 8 figura estabelecido que o Poder Público, no exercício de sua competência de controle, expedirá as seguintes licenças:

De acordo com o Artigo 2 da Resolução CONAMA N. 237/97, a localização, construção, instalação, ampliação, modificação e operação de órgãos ambientais consideradas efetiva ou potencialmente poluidoras, utilizadoras de recursos ambientais consideradas efetiva ou potencialmente poluidoras, bem como os empreendimentos capazes, sob qualquer forma, de causar degredação ambiental, dependendo de prévio licenciamento do órgão ambiental competente, sem prejuízo de outras licenças legamente exigíveis.

(Rima), ao qual dar-se-a publicidade, garantida a realização de audiências públicas, quando couber, de acordo com a regulamentação.

Está Resolução em seu Artigo 3 estabelece que a licença ambiental para empreendimentos causadores de significativa degredação do meio depende da elaboração de um projeto de impacto ambiental (ELA) e respectivo relatório de impacto ambiental (RIMA) e respectivo relatório de impacto ambiental (ELA) e respectivo relatório de impacto ambiental (RIMA), ao qual dar-se-a publicidade, garantida a realização de audiências públicas, quando couber, de acordo com a regulamentação.

O processo de licenciamento ambiental tem seus procedimentos gerais estabelecidos na legislação ambiental federal, podendo sofrer particularidades em cada Estado, em função das legislações estaduais de seus correspondentes Estados.

• Procedimentos relacionados ao licenciamento ambiental

Quando couber, de acordo com a regulagão pertinente, o orgão ambiental pertinente poderá escalar comentários e complementações decorrentes de audiências públicas podendo

solicitar de audiência.

respeitado o prazo mínimo de 45 dias a partir do recebimento do Rio para eventual competente não determinar, a princípio, a realização de Audiência Pública, deverá ser determinado Público ou ainda, de 50 ou mais cidadãos. No caso do orgão ambiental do Ministério Público do órgão ambiental competente ou solicitado de entidade civil, dependerá de determinação do órgão ambiental competente ou solicitação de entidade civil, Sua realização, regularmente pelas Resoluções CONAMA Nº 001/86 e Nº 009/87,

A realização de audiência pública é vinculada ao processo de análise e aprovação do EIA e do Rio e tem por finalidade exportar aos interessados o conteúdo destes estudos, dirimindo divergências e recolhendo críticas e sugestões.

8.3 AUDIÉNCIA PÚBLICA

A LP servirá a análise do EIA e do Rio e da eventual realização de audiência pública, contendo as condições de validade, exigências de monitoramento dos impactos e o prazo da sua validade. Diante a análise desses documentos o orgão ambiental competente poderá solicitar informações complementares e realizar visita da área de influência do provávelmento.

O EIA deve ser elaborado por técnicos habilitados, que serão responsáveis O orgão ambiental competente tem atribuições conferidas pela legislação ambiental e poderá estabelecer instruções adicionais ou requerer complementações. A LP servirá a análise do EIA e do Rio e da eventual realização de audiência pública, contendo as condições de validade, exigências de monitoramento dos impactos e o prazo da sua validade. Diante a análise desses documentos o orgão ambiental competente poderá solicitar informações complementares e realizar visita da área de influência do provávelmento.

O EIA deve ser elaborado por técnicos habilitados, que serão responsáveis A elaboração do EIA (tais como: coleta e aquisição dos dados e informações, trabalhos e inspeções de campo, análises de laboratório, estudos técnicos e científicos e A elaboração do EIA e o Rio deve ser apresentado a todos os interessados e das cópias necessárias (Decreto Nº 99.274/90, Art. 17, § 2º e Resolução CONAMA Nº 001/86, Art. 84).

Cabe ao proponente do projeto ao público (Decreto Nº 99.274/90, Art. 17, § 3º e Resolução CONAMA Nº 001/86, Art. 11). O Rio deve ser apresentado a todos os interessados e das cópias necessárias (Decreto Nº 99.274/90, Art. 17, § 3º e Resolução CONAMA Nº 001/86, Art. 84). Cabe ao proponente do projeto ao público (Decreto Nº 99.274/90, Art. 17, § 3º e Resolução CONAMA Nº 001/86, Art. 11). O Rio deve ser apresentado a todos os interessados e das cópias necessárias (Decreto Nº 99.274/90, Art. 17, § 3º e Resolução CONAMA Nº 001/86, Art. 84).

Segundo a Resolução CONAMA Nº 001/86, atores sanitários, processamento e destino final de resíduos tóxicos ou perigosos, dependendo de elaboração do EIA e respeitivo Rio.

- Decreto nº 1.361, de 01/01/95.
- MP nº 752, de 06/12/94;
- Decreto nº 335, de 11/11/91;
- Lei nº 8.029, de 12/04/90;
- Portaria nº 07, do Ministério da Cultura, de 01/12/88;
- Lei nº 4.845, de 19/11/65;
- Lei nº 3.924, de 26/07/61;
- Lei nº 3.866, de 29/11/41(44);
- Decreto-Lei nº 25, de 30/11/44;
- Constituição Federal, nos seus artigos 5º, 20, e 216;

Os principais textos legais sobre o assunto são:

O permissionário está obrigado a informar, trimestralmente o andamento dos trabalhos, não podendo impedir a inspeção, quando julgada conveniente, por delegado especialmente designado.

O IPHAN deverá responder o pedido em 90 (noventa) dias e a permissão ou autorização deve ser reválida a cada dois anos.

- prova de idoneidade financeira do projeto.

do material produzido e meios de divulgação das informações, sediência das operações, cronograma de execução, proposta preliminar de utilização do permissionário que contenha a definição dos objetivos, conceituado e metodologia,

- delimitação da área de abrangência do projeto;

• dados do arqueólogo responsável, com prova de idoneidade técnica-científica;

Para realização de escavações para fins arqueológicos é necessária a obtenção prévia de permissão ou autorização do Instituto Histórico e Artístico Nacional - IPHAN, vinculado ao Ministério da Cultura, regulamentada pela Portaria Nº 07/88. O pedido deve ser acompanhado de:

diferentes grupos formadores da sociedade brasileira, entre os quais se incluem os sítios materiais e imateriais portadores de referência a identidade, a saga, a memória dos detentores de remanescências históricas dos antigos quilombos.

Constituem patrimônio cultural, protegido pela Constituição Federal, os bens de natureza

8.4 PESQUISAS ARQUEOLÓGICAS E DE PATRIMÔNIO HISTÓRICO

haver reiteração da solicitação quando os escarcimentos e complementações não tenham sido satisfatórios.

9 ÁREAS DE INFILUÊNCIA DO EMPREENDIMENTO

PROSUL

- As áreas de influência do empreendimento, correspondentes aos limites do espaço a ser direta ou indiretamente afetado pelos impactos dele derivados, formam definições para cada meio, levando-se em consideração as características específicas do projeto.
- Assim, para o meio físico foram consideradas:
- Área de influência Direta (AID): compreende a região microclimática percepтивis.
 - Área de influência Indireta (AII): compreende a área do empreendimento e seu entorno imediato.
 - Área de influência Hidrográfica, recuros hidricos
 - Área de influência Direta (AID): compreende a área do empreendimento e seu entorno imediato.
 - Área de influência Indireta (AII): compreende a bacia hidrográfica do rio Monte Alegre.
 - Área de influência Hidrográfica, recuros hidricos
 - Área de influência Indireta (AII): compreende a área do empreendimento e seu entorno imediato.
 - Área de influência Indireta (AII): compreende a bacia hidrográfica do rio Monte Alegre.
 - Área de influência Indireta (AII): compreende a bacia hidrográfica do rio Monte Alegre.
 - Área de influência Indireta (AII): compreende a área do empreendimento e seu entorno imediato.
 - Área de influência Indireta (AII): compreende a área do empreendimento e seu entorno imediato.
 - Área de influência Indireta (AII): abrange uma área maior, cuja definição dos limites é imprecisa e corresponde aos municípios de Santa Catarina, Rio Grande do Sul e Paraná, situados a uma distância tal, que forme o transponte de resíduos para serem tratados em Chapecó economicamente viável.

Para o meio antropico foram estabelecidas as seguintes áreas de influência:

- Área de influência Indireta (AII): compreende a bacia hidrográfica do rio Monte Alegre.
- Área de influência Indireta (AII): compreende a área do empreendimento e seu entorno imediato.
- Área de influência Indireta (AII): compreende a região escollida para a construção dos galpões e a abertura das valas de depósito dos resíduos e seu entorno imediato.
- Área de influência Biotico foram consideradas:

Geológicos

- Área de influência Indireta (AII): compreende a área do empreendimento e seu entorno imediato.
- Área de influência Indireta (AII): compreende a bacia hidrográfica do rio Monte Alegre.

Clima

- Área de influência Indireta (AII): compreende a área do empreendimento e seu entorno imediato.
- Área de influência Indireta (AII): compreende a bacia hidrográfica do rio Monte Alegre.

Hidrologia, recuros hidricos

- Área de influência Indireta (AII): área de abrangência regional, sem limites rígidos e centrada na Estação Meteorológica de Chapecó.
- Área de influência Indireta (AII): compreende a bacia hidrográfica de Chapecó.

Assim, para o meio físico foram consideradas:

- Área de influência Direta (AID): compreende a região microclimática percepтивis.
- Área de influência Indireta (AII): compreende a área do empreendimento e seu entorno imediato.
- Área de influência Indireta (AII): compreende a bacia hidrográfica do rio Monte Alegre, onde se verifica certas alterações microclimáticas perceptíveis.
- Área de influência Indireta (AII): compreende a área do empreendimento e seu entorno imediato.
- Área de influência Indireta (AII): compreende a bacia hidrográfica do rio Monte Alegre.

Áreas de influência do empreendimento, correspondentes aos limites do espaço a ser

direta ou indiretamente afetado pelos impactos dele derivados, formam definições para cada meio, levando-se em consideração as características específicas do projeto.

Assim, para o meio físico foram consideradas:

- Área de influência Indireta (AII): compreende a área do empreendimento e seu entorno imediato.
- Área de influência Indireta (AII): compreende a bacia hidrográfica do rio Monte Alegre.

Áreas de influência do empreendimento, correspondentes aos limites do espaço a ser

direta ou indiretamente afetado pelos impactos dele derivados, formam definições para cada meio, levando-se em consideração as características específicas do projeto.

Assim, para o meio físico foram consideradas:

- Área de influência Indireta (AII): compreende a área do empreendimento e seu entorno imediato.
- Área de influência Indireta (AII): compreende a bacia hidrográfica do rio Monte Alegre.

Áreas de influência do empreendimento, correspondentes aos limites do espaço a ser

direta ou indiretamente afetado pelos impactos dele derivados, formam definições para cada meio, levando-se em consideração as características específicas do projeto.

Assim, para o meio físico foram consideradas:

- Área de influência Indireta (AII): compreende a área do empreendimento e seu entorno imediato.
- Área de influência Indireta (AII): compreende a bacia hidrográfica do rio Monte Alegre.

Áreas de influência do empreendimento, correspondentes aos limites do espaço a ser

Os ventos nadas mais são que o deslocamento das massas de ar. Estudos mais profundos em relações a climatologia local, concluiram que a região em estudo sofre influência das perturbações que ocorrem devido a movimentações de massas de ar que atuam na região. No verão, devido ao aquecimento do continente acima-se entre os anticíclicos semi-fixo do atlântico e o anticiclone da antártica, evidenciando os ventos antecíclicos fracos do regime de pressão alta. Com a aproximação da estação fria a massa tropical continental se enfraquece o que contribui para o avanço do anticiclone do atlântico oceânico fracos do regime de pressão baixa. Como a aproximação da estação fria a massa antecíclica das perturbações que ocorrem devido ao aquecimento do continente acima-se entre os anticíclicos fracos do regime de pressão alta. Com a aproximação da estação fria a massa antecíclica das perturbações que ocorrem devido ao aquecimento do continente acima-se entre os anticíclicos fracos do regime de pressão baixa.

10.1.1.3 Vento

A temperatura média nos meses de inverno, está entre 13° e 15°C, mas com inverno rigoroso, podendo chegar a temperaturas próximas a 0°C. Nos meses de verão, a temperatura média é 22° a 24°C, temperaturas mais amena, entre 20° e 22°C, são registradas em parte do município de Chápecó, coincidindo com os locais de maior altitude, o que estabelece para o planalto de Chápecó temperaturas médias anuais situando-se em torno de 16° a 18°C.

10.1.1.2 Temperatura

Segundo a classificação climática de Thornthwaite, o clima predominante na região é super úmido, mesotérmico, com pouco ou nenhum déficit de água e as quatro estações do ano bem definidas.

Fonte: Inventario das Estações Meteorológicas			
Latitude	Longitude	Altitude	
Chápecó (SC)	27°05'25"	52°38'07"	668,0 m

Tab.10.1 Localização geográfica da estação meteorológica de Chápecó

Para o estudo dos fatores intervenientes na formação do clima da região, foram utilizados dados relativos a precipitação, temperatura e elementos atmosféricos, obtidos juntos a estação meteorológica, proximidade do local correspondente à EPGRI registrada junto a ANEEL, pelo código 23041000, que corresponde a estação da EPGRI registrada junto a ANEEL, pelo código 23041000, situada na cidade de Chápecó.

10.1.1.1 Coleta de dados

10.1.1 Clima

10.1 Meio Físico

10 DIAGNÓSTICO AMBIENTAL

A presença de formações florísticas, também exerce influência no comportamento dos ventos, que afetam os processos de evaporação e condensação, e que nesse caso influenciará principalmente nas dispersões das emissões gassosas e odoríferas que sejam formadas na área.

Nos bosques, a diminuição da radiação solar que encontra o solo, exerce influência na temperatura e pressão do vapor d'água, onde dependendo da espécie e da densidade da floresta podem ocorrer diminuições de temperatura de 3º a 4º C no verão e 1º C no inverno. No que se refere a umidade relativa do ar média, pode-se superar até um aumento de 25-30% no verão e 8-10% no inverno (Lopez, et. al, 1995).

No entanto, a diminuição da radiação solar que encontra o solo, exerce influência na temperatura e pressão do vapor d'água, onde dependendo da espécie e da densidade da floresta podem ocorrer diminuições de temperatura de 3º a 4º C no verão e 1º C no inverno. No que se refere a umidade relativa do ar média, pode-se superar até um aumento de 25-30% no verão e 8-10% no inverno (Lopez, et. al, 1995).

Na área destinada à execução do empreendimento em análise, é conveniente destacar algumas fenômenos microclimáticos, relacionados a dois aspectos: a presença de formações vegetais em diversos estagios de regeneração circundando a área e o posicionamento de forma da bacia hidrográfica em relação ao deslocamento de massas de ar.

Na área destinada à execução do empreendimento em análise, é conveniente destacar alguns fenômenos microclimáticos, relacionados a dois aspectos: a presença de formações vegetais em diversos estagios de regeneração circundando a área e o posicionamento de forma da bacia hidrográfica em relação ao deslocamento de massas de ar.

10.1.1.5 Microclima

	jan.	fev.	mar.	abr.	mai.	jun.	jul.	ago.	set.	out.	nov.	dez.	U[%]
	72,06	75,61	75,36	76,22	78,22	77,73	73,42	70,95	70,78	70,74	69,98	70,48	

Tab. 10.3 - Valores médios de umidade relativa do ar.

Fonte: Epagri de Chapecó (1999)

Os valores referentes a média da umidade relativa do ar obtidos na cidade de Chapecó, são apresentados na tabela 10.3.

Umidade relativa da região gira em torno de 70%, mas alcançando valores próximos a 90% em dias de temperatura elevada nos meses de verão. Devido ao aumento da evaporação real, causada pelos condições meteorológicas, há um aumento da umidade relativa do ar.

A região se caracteriza por não ter deficit de umidade, sendo que, como constatado, a umidade relativa da região gira em torno de 70%, mas alcançando valores próximos a 90% em dias de temperatura elevada nos meses de verão. Devido ao aumento da evaporação real, causada pelos condições meteorológicas, há um aumento da umidade relativa do ar.

10.1.1.4 Umidade relativa do ar

	jan.	fev.	mar.	abr.	mai.	jun.	jul.	ago.	set.	out.	nov.	dez.	V[km/h]
	5,40	5,40	5,04	5,04	5,4	6,48	7,20	6,48	6,84	6,48	6,12	6,12	

Tab. 10.2 - Média da velocidade dos ventos.

Fonte: Epagri de Chapecó (1999)

SE é segundada predominância NE. A velocidades média anual do vento na região é de 6 (seis) km/h e a variação das médias mensais são apresentadas na tabela 10.2.

Antartica, caracterizando os ventos da região, como predominância principal na direção

Estudos comprovaram que em regiões de bosques, dependentes da árvore das arvores e solo em relações a velocidades nas copas das árvores. Estes efeitos físicos chegam a 5% no da densidade do bosque, as reduções nas velocidades dos ventos podem chegar a 5% no solo em relações a velocidades nas copas das árvores. Estes efeitos físicos e dependentes das árvores e solo em relações a velocidades nas copas das árvores. Estes efeitos físicos chegar a 5% no solo em relações a velocidades nas copas das árvores. Estes efeitos físicos chegar a 5% no solo em relações a velocidades nas copas das árvores. Estes efeitos físicos chegar a 5% no solo em relações a velocidades nas copas das árvores. Estes efeitos físicos chegar a 5% no solo em relações a velocidades nas copas das árvores.

O possicionamento geográfico da bacia do Rio Monte Alegrão, com as feições de suas encostas voltadas para o sul, e na ocorrência de ventos vindos do quadrante sul, onde evaporação ins�ragão, são empurradas para a montante da bacia, formadas pelos processos de evaporação ins�ragão, tem uma elevação rápida, atingindo zonas com pressões extremas menores, o que gera a expansão da massa de ar e consequentemente a perda de energia, Minas e Energia, Florianópolis, 1987, conforme na tabela 10.1.

A coluna estratigráfica adotada, foi apresentada no Mapa Geológico do Estádio de Santa Catarina, na escala 1:500.000, contido no "Textos Básicos de Geologia e Recursos Minerais de Santa Catarina", coordenado por Luiz Carlos da Silva e Carlos Alfredo Portoluzzi, DNP-M-CRM, Nº 1, publicado pelo Convêniio DNP - Sec. Ciênc. e Tecnologia, Minas e Energia, Florianópolis, 1987, conforme na tabela 10.1.

As unidades estratigráficas que apresentam interesse no projeto são a Formação Serra Geral e os Sedimentos Quaternários, cujas características geológicas são apresentadas, a seguir.

A unidade caracterizada por rochas, meio desse é extremo desse do Estádio de Santa Catarina é a base totalizada do desse, meio desse é extremo desse do Estádio de Formação Serra Geral e coberta por rochas, que constituem a Formação Serra Geral.

10.1.2.1.1 Formação Serra Geral

A unidade estratigráfica que apresenta interesse no projeto é a Formão Serra Geral e os Sedimentos Quaternários, cujas características geológicas são apresentadas, a seguir.

As unidades estratigráficas que apresentam interesse no projeto são a Formação Serra Geral e os Sedimentos Quaternários, cujas características geológicas são apresentadas, a seguir.

As unidades estratigráficas que apresentam interesse no projeto são a Formão Serra Geral e os Sedimentos Quaternários, cujas características geológicas são apresentadas, a seguir.

As unidades estratigráficas que apresentam interesse no projeto são a Formação Serra Geral e os Sedimentos Quaternários, cujas características geológicas são apresentadas, a seguir.

A unidade estratigráfica adotada, foi apresentada no Mapa Geológico do Estádio de Santa Catarina, na escala 1:500.000, contido no "Textos Básicos de Geologia e Recursos Minerais de Santa Catarina", coordenado por Luiz Carlos da Silva e Carlos Alfredo Portoluzzi, DNP-M-CRM, Nº 1, publicado pelo Convêniio DNP - Sec. Ciênc. e Tecnologia, Minas e Energia, Florianópolis, 1987, conforme na tabela 10.1.

Tecnicamente, a Formação Serra Geral é formada por rochas vulcânicas acidas em seu topo, constituídas por riolíticos, podendo ou não apresentar rochas vulcânicas acidas em seu topo, constituídas tipicas, podendo ou não apresentar rochas vulcânicas acidas em seu topo, constituídas por riolíticos. Pode ocorrer também sob a forma de diques e sillis de diabasio, distibuídos em todo o Estádio.

A Formação Serra Geral é caracterizada por derrames basálticos, com suas feições típicas, podendo ou não apresentar rochas vulcânicas acidas em seu topo, constituídas por riolíticos, podendo ou não apresentar rochas vulcânicas acidas em seu topo, constituídas por riolíticos.

10.1.2.1.2 Geologia regional

10.1.2 Geologia

O possicionamento geográfico da bacia do Rio Monte Alegrão, com as feições de suas encostas voltadas para o sul, e na ocorrência de ventos vindos do quadrante sul, onde evaporação ins�ragão, são empurradas para a montante da bacia, formadas pelos processos de evaporação ins�ragão, tem uma elevação rápida, atingindo zonas com pressões extremas das encostas, tem uma elevação rápida, atingindo zonas com pressões atmosféricas menores, o que gera a expansão da massa de ar e consequentemente a perda de energia do sistema, que gera a expansão da massa de ar e consequentemente a perda de energia, Minas e Energia, Florianópolis, 1987, conforme na tabela 10.1.

A coluna estratigráfica adotada, foi apresentada no Mapa Geológico do Estádio de Santa Catarina, na escala 1:500.000, contido no "Textos Básicos de Geologia e Recursos Minerais de Santa Catarina", coordenado por Luiz Carlos da Silva e Carlos Alfredo Portoluzzi, DNP-M-CRM, Nº 1, publicado pelo Convêniio DNP - Sec. Ciênc. e Tecnologia, Minas e Energia, Florianópolis, 1987, conforme na tabela 10.1.

As unidades estratigráficas que apresentam interesse no projeto são a Formação Serra Geral e os Sedimentos Quaternários, cujas características geológicas são apresentadas, a seguir.

As unidades estratigráficas que apresentam interesse no projeto são a Formação Serra Geral e os Sedimentos Quaternários, cujas características geológicas são apresentadas, a seguir.

As unidades estratigráficas que apresentam interesse no projeto são a Formação Serra Geral e os Sedimentos Quaternários, cujas características geológicas são apresentadas, a seguir.

As unidades estratigráficas que apresentam interesse no projeto são a Formação Serra Geral e os Sedimentos Quaternários, cujas características geológicas são apresentadas, a seguir.

As unidades estratigráficas que apresentam interesse no projeto são a Formação Serra Geral e os Sedimentos Quaternários, cujas características geológicas são apresentadas, a seguir.

As unidades estratigráficas que apresentam interesse no projeto são a Formação Serra Geral e os Sedimentos Quaternários, cujas características geológicas são apresentadas, a seguir.

O possicionamento geográfico da bacia do Rio Monte Alegrão, com as feições de suas encostas voltadas para o sul, e na ocorrência de ventos vindos do quadrante sul, onde evaporação ins�ragão, são empurradas para a montante da bacia, formadas pelos processos de evaporação ins�ragão, tem uma elevação rápida, atingindo zonas com pressões atmosféricas menores, o que gera a expansão da massa de ar e consequentemente a perda de energia do sistema, que gera a expansão da massa de ar e consequentemente a perda de energia, Minas e Energia, Florianópolis, 1987, conforme na tabela 10.1.

Formações vegetais altas, 1,0m sobre capoeiras baixas e 0,1m sobre graminéas (Lopez, et. al, 1995).

Formações vegetais altas, 1,0m sobre capoeiras baixas e 0,1m sobre graminéas (Lopez, et. al, 1995).

Formações vegetais altas, 1,0m sobre capoeiras baixas e 0,1m sobre graminéas (Lopez, et. al, 1995).

Formações vegetais altas, 1,0m sobre capoeiras baixas e 0,1m sobre graminéas (Lopez, et. al, 1995).

Formações vegetais altas, 1,0m sobre capoeiras baixas e 0,1m sobre graminéas (Lopez, et. al, 1995).

Formações vegetais altas, 1,0m sobre capoeiras baixas e 0,1m sobre graminéas (Lopez, et. al, 1995).

Formações vegetais altas, 1,0m sobre capoeiras baixas e 0,1m sobre graminéas (Lopez, et. al, 1995).

Formações vegetais altas, 1,0m sobre capoeiras baixas e 0,1m sobre graminéas (Lopez, et. al, 1995).

Formações vegetais altas, 1,0m sobre capoeiras baixas e 0,1m sobre graminéas (Lopez, et. al, 1995).

A Serra Geral, que limita a ocorrência dos derames basálticos a leste, constitui um conjunto de elevações que se alongam seguindo uma linha noroeste - sudeste, partindo de Porto União, ao norte, seguindo em direção a Bom Retiro, quando passa a se desenvolver no sentido norte - sul, ou seja, segue em direção à Praia Grande.

Em Santa Catarina, num trabalho de determinação da espessura média de cada derame, chega-se a uma espessura de 35 m. Pelas sondagens de Presidente Epitácio (SP), efetuada pela PETROBRAS, conclui-se por uma espessura média de 49 m para os derames, em 31 derames determinados, numa espessura total de basalto de 1.529 m (Brazilian Gondwana Problems, 1967). No entanto, a espessura dos derames pode ser variável, podendo ir de poucos metros até 100 m ou mais.

Pelo Mapa de Isopácas (fig. 10.1) constata-se que a espessura dos derames basálticos é superior a 1.000 metros, no noroeste do Estado, de Abelardo Luz a São Lourenço do Oeste e na região de São Joaquim, está entre 1.000 e 500 metros. Nas demais regiões sua espessura é inferior a 1.000 m.

Sondagens efetuadas pela PETROBRAS determinaram espessuras de 426 metros em Matos Costa; 157 metros em Marmobras; 497 metros em Lebon Régis, com 19 derames; 492 metros em Cagador; 675 metros em Herval Velho; 543 metros em Piratuba, com 12 derames; 748 metros Machadinho (RS). Outros dados de espessura de basalto foram obtidos através de sondagens efetuadas pela CPRM, em Concórdia, com 420 metros, São Miguel do Oeste, com 1.200 metros. A Pauli Petró numa sondagem efetuada em São Miguel do Oeste, com 48 metros e a Eletrossil perfurou 430 metros em basalto em Ita.

Bortoluzzi, 1987

Tab. 10.4 Coluna estratigráfica do Estadão de Santa Catarina, segundo L. C. Silva e C. A.

ERA	PERÍODO	ESTRATIGRAFIA					
		COLUNA ESTRATIGRAFICA				MESOZOICA	
P	R	Superior	Grupo Passa Dois	Formação Rio do Rastro	Formação Palermo	Carbonífero	PALEOZOICA
E	A	Inferior	Grupo Guatá	Formação Rio do Sul	Formação Rio Bonito	Tubarão	
M	E	Medio	Grupo Itararé	Formação Mafra	Formação Tenente	Itararé	
D	O	Devoniano	Formação Fumars	Suite Intrusiva Guabiruba	Suite Intrusiva Pedras Grandes	Inferior	PROTEROZOICA
C	N	Superior	Formação Campo Alegre	Sed. Vulcânica Superior	Sed. Vulcânica Inferior	Medio	
B	R	Inferior	Formação Gaspard	Sed. Intermediária	Sed. Vulcânica Inferior	Superior	
P	A	Medio	Conglomerado Bau	Granito Valsungana	Granito Valusungana	Inferior	
F	E	Superior	Complexo Taboleiro	Núcleo Migmatítico São Francisco Sul	Núcleo Migmatítico Inje-gá	Complexo Taboleiro	ARQUEOZOICA
L	M	Inferior	Complexo Metamórfico Brusque	Núcleo Migmatítico Inje-gá	Núcleo Migmatítico Iapemema	Complexo Granulítico de São Francisco	
S	I	Medio	Granito-Gnaissica São Francisco Belo	Faiixa Rosalimata/Tijucas	Faiixa Rosalimata/Tijucas	Granito-Gnaissica Faiixa Gropaba	
G	S	Superior	Granito-Gnaissica Faiixa Gropaba	Faiixa Gnaissica Itajaí-Faxinal	Faiixa Gnaissica Itajaí-Faxinal	Granito-Gnaissica Faiixa Gropaba	

A espessura da zona amigdaloidal é muito variável. Dependendo da velocidade de ressaca, a parte superior tende a apresentar textura holohialina ou vitrea, podendo passar a microcristalina na porção mais interna do derame. Sua estrutura fica caracterizada como amigdaloidal e ou vesicular, justamente devido a presenças destas estruturas.

O fraturamento da zona amigdaloidal é intenso, sendo o espaçamento das fraturas da ordem de centímetros a decímetros, não apresentando um padrão definido, nem regularidade em sua distribuição.

Devido ao rápido resfriamento, a parte superior tende a apresentar textura holohialina ou ressaca varia de zero a 50% da espessura total do derame.

Comumente esta espessura é de vapor e gases, espessura do derame.

A espessura da zona amigdaloidal é muito variável. Dependendo da velocidade de ressaca e da temperatura varia de zero a 50% da espessura total do derame.

As gás e o vapor de água dissolvidos na lava ficam retidos e se aglutinam sob a forma amigdaloidal e popularmente denominado de "olho de sapo".

Devido a forma das amigdalas é ao contraste de sua coloração, o basalto parcialmente as bolhas, se incrustando em suas paredes internas, denominando-se de geodas. Devido a forma das amigdalas é ao contraste de sua coloração, o basalto mineral, ganham a denominação de amigdalas. Caso esteja minerais preenchidas por zoolita, apofilita, nortronita e calcita. Quando as bolhas se encostam preenchidas por entre os quais os maiores dissolvidos, o resfriamento provoca sua cristalização. Quando contiverem sais dissolvidos, o resfriamento provoca sua cristalização. Quando de bolhas e vão originar espacos vazios na rocha, constituindo a camada superior do derame. Estes espaços vazios da rocha são denominados de vesículas. Quando de gás e o vapor de água dissolvidos na lava ficam retidos e se aglutinam sob a forma

Ao escalar, a lava que se encontra a temperatura de 1.100°C, sofre brusco resfriamento em sua porção superior, que está em contato com a atmosfera, consolidando uma crosta, enganhou que o restante da massa da lava continua em estado de fusão.

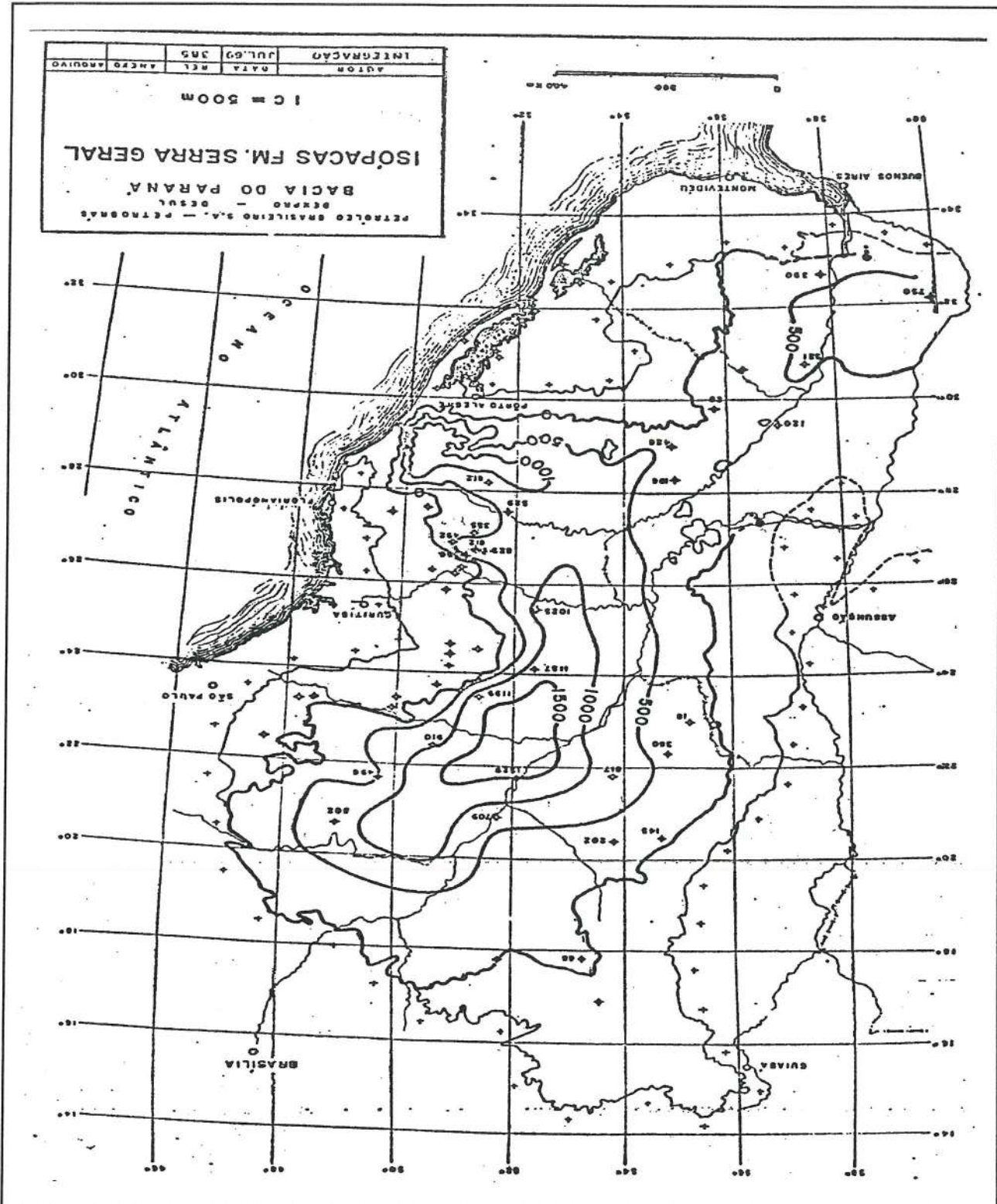
10.1.2.1.2 Caracterização geológica da Zona Amigdaloidal-Vesicular do derame basáltico

Por ser o basalto uma rocha básica, sua lava apresenta grande fluido, se espalhando por uma grande área, formando um lago de lava em fusão. Ao resfriar tende a formar uma sucessão de zonas com características estruturais e texturais distintas. V. Leinz (1949) estudaando os basaltos, estabeleceu a sucessão de eventos, bem como as características de cada uma das zonas formadas, que podem ser visualizadas na figura 10.2 e assim define:

Os derames basálticos assentam-se disconformemente sobre os arenitos da Formação Botucatu e também podem ocorrer intercalações de arenito elílico na base dos derames, o que indica sua contemporaneidade, apenaas no início das erupções.

Uma das melhores exposições de basalto em Santa Catarina pode ser vista ao longo da estrada da Serra do Rio do Rastro, Nesta serra, V. Leinz (1949), identificou nove derames, com espessuras variando entre 50 e 110 metros. Na subida de Timbé do Sul, H. Putzer (1955), determinou um total de treze derames, para uma espessura de 940 metros.

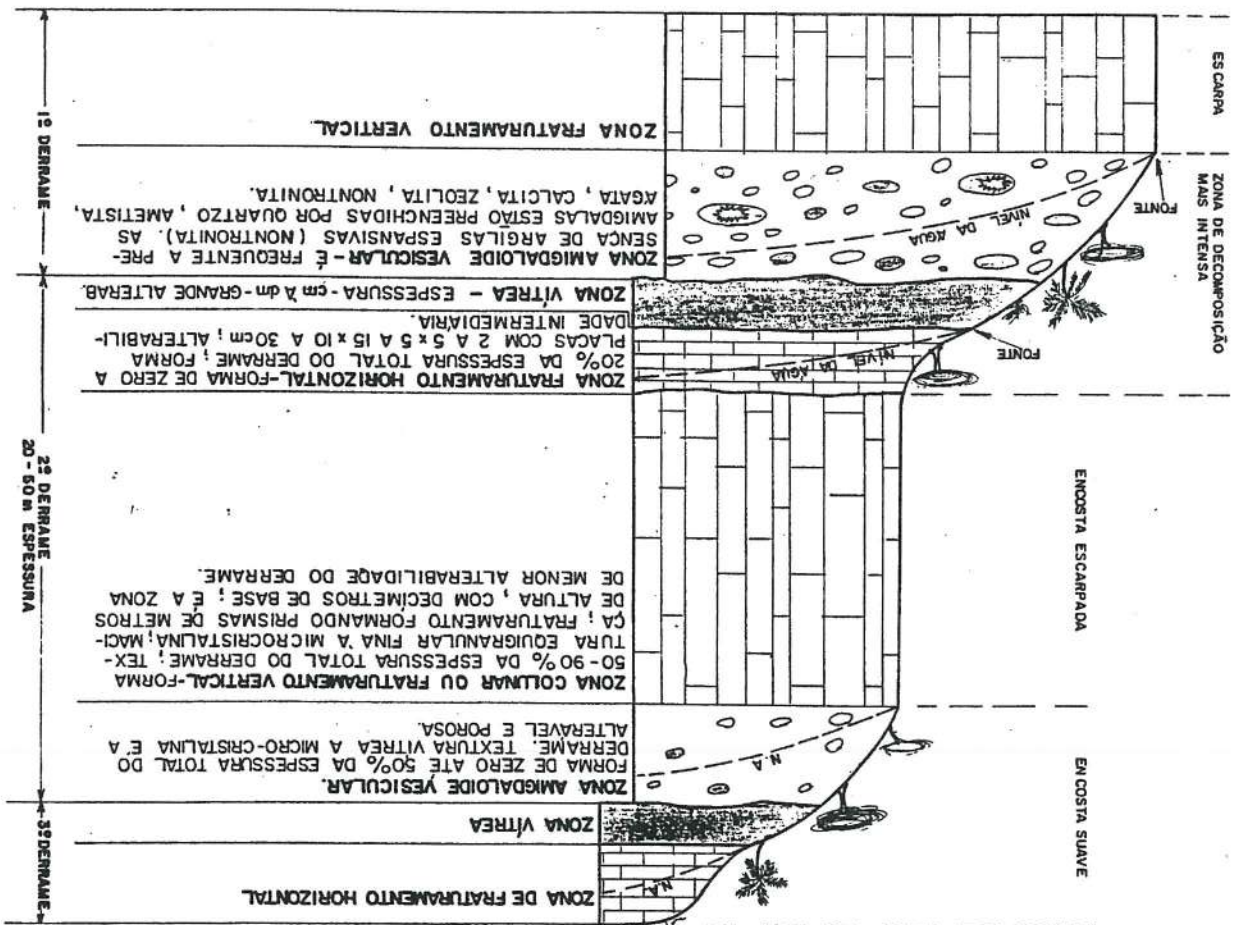
Fig. 10.1 Mapa de Isópacas da Formação Geral.



Assim, como a zona amigdaloidé sofre um rápido restriamento pelo contato com o ar, a zona vitrea sofre rapidamente restriamento pela dissipação do calor, pelo aquecimento do solo ou rocha por sobre o qual se escova. A quantidade de calor dissipada por esta zona será menor do que a dissipada pela zona amigdaloidé e consequentemente, terá menor espessura, da ordem de centímetros a decímetros ou ainda até poucos metros (ex. 5 centímetros ou 1 metro).

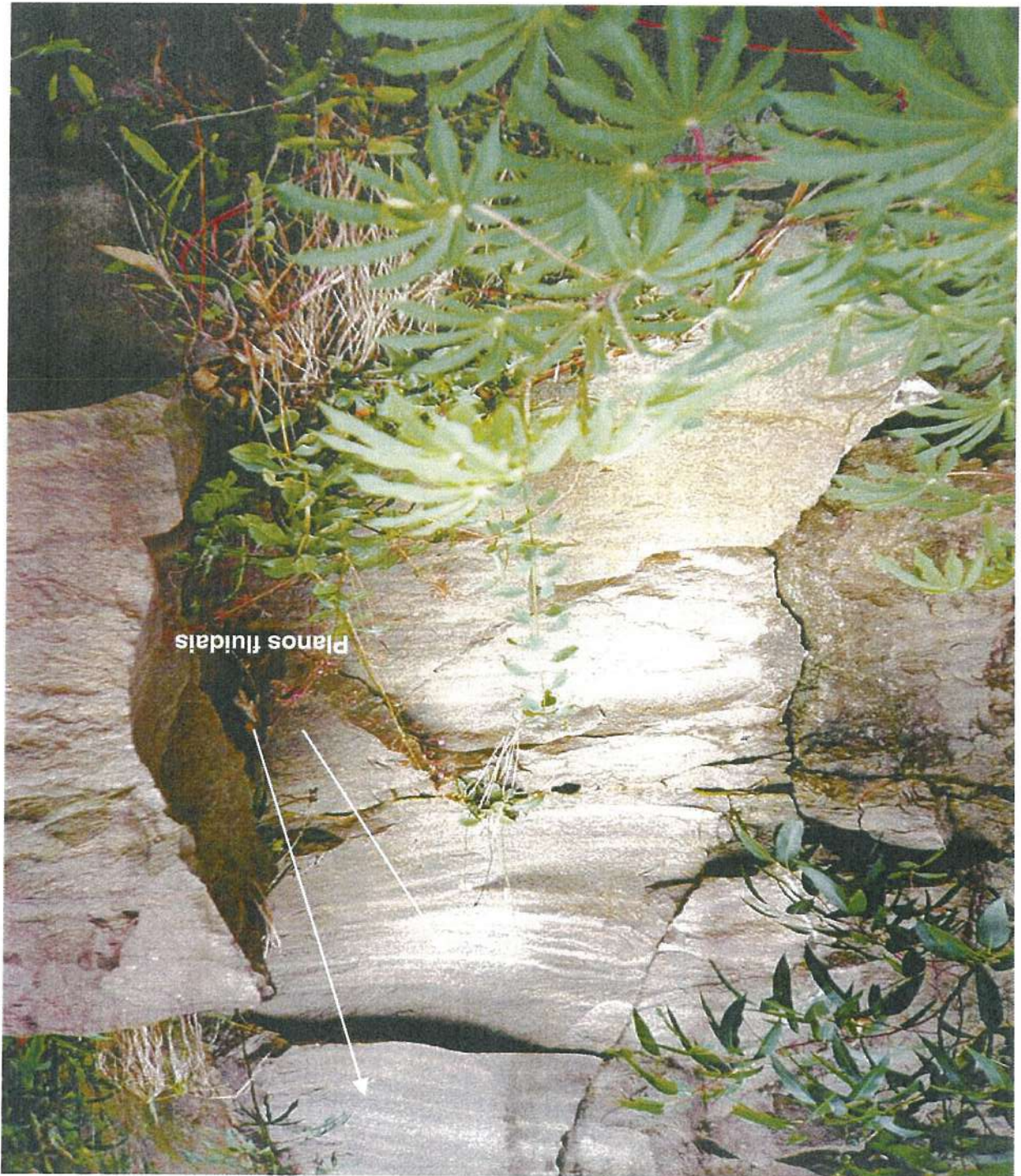
10.1.2.2 Caracterização geológica da Zona Vitrea do derrame basáltico

Fig. 10.2 Perfil típico de um derrame basáltico



PERFIL TÍPICO DE UM DERRAMAMENTO BASÁLTICO

que se constituem em planos de fracturação, por onde a rocha tende a fraturar. Baldissera, limite leste da Área I. Observam-se os planos fluidais sub-horizontais da rocha, que se constituem por rios que afloram no talude da estrada de acesso à Pedreira.



Estudo de Impacto da Implantação da Central de Tratamento de Resíduos Sólidos Industriais e Comerciais de Chapecó/SC - junho/2001 10-24

Com o objetivo de se determinar as características geotécnicas dos solos da Área I foi estabelecida uma malha de sondagem à percausão (SPT) (ver Mapa Geológico), em duas

industriais 10.1.2.13.4. Investigação geotécnica da Área I e a zona de influência direta do aterro

(fig. 10-4).

O derrame inferior tem a zona amigdaloidé entre as cotas 626 e 623 m, seguindo a zona colunar desse derrame, constituída por um basalto cinza escuro, equigranular fino, maciço

columnar desse derrame, onde a zona amigdaloidé ésta posicionada entre as cotas 652 e 647 m. Sob da pedreira, onde a zona amigdaloidé ocorre o basalto columnar do derrame superior, entre as cotas 647 e 626 m.

Os dois derrames basálticos denominados de derrame inferior e derrame superior, mostaram-se bem caracterizados. O derrame superior pode ser visto na bancada superior suavizado do conjunto formado pelas zonas amigdaloidé, vitroa e tabular.

Os aspectos geomorfológicos regionais enunciados para os derrames basálticos estão

10.1.2.13.3. Geomorfologia da Área I de influência direta do aterro industrial

Fig. 10.8. Observa-se a Área I, formada por um patamar na encosta, com relevo de pedraia decívida, onde ocorre depósito coluvial argiloso siloso avermelhado, com matacões de basalto em seu meio.



Nível d'água - 2,00 m

Sond.(SPT)	Prof. (m)	Nº Golpes	Descrição	Horizonte do solo
SPT-04 A	1,00 - 1,45	9	Argila vermelha, rija	
	2,00 - 2,45	11	Argila vermelha, rija	
	3,00 - 3,45	90	Cascalho	

Nível d'água - 1,80 m

Sond.(SPT)	Prof. (m)	Nº Golpes	Descrição	Horizonte do solo
SPT-03 A	1,00 - 1,45	16	Argila marrom, muito rija	
	2,00 - 2,45	14	Argila marrom, muito rija	
	3,00 - 3,45	90	Cascalho	

Nível d'água - 8,45 m

Sond.(SPT)	Prof. (m)	Nº Golpes	Descrição	Horizonte do solo
SPT-02 A	1,00 - 1,45	5	Argila marrom, média	Colúvio
	2,00 - 2,45	6	Argila vermelha, média	
	3,00 - 3,45	6	Argila vermelha, média	
	4,00 - 4,45	6	Argila vermelha, média	
	5,00 - 5,45	9	Argila vermelha, rija	
	6,00 - 6,45	9	Argila vermelha, rija	
	7,00 - 7,45	19	Argila marrom, muito rija	
	8,00 - 8,45	20	Argila marrom, muito rija	

Nível d'água - 6,4 m

Sond.(SPT)	Prof. (m)	Nº Golpes	Descrição	Horizonte do solo
SPT-01A	1,00 - 1,45	5	Argila vermelha, média	
	2,00 - 2,45	5	Argila vermelha, média	
	3,00 - 3,45	7	Argila vermelha, média	
	4,00 - 4,45	7	Argila vermelha, média	
	5,00 - 5,45	9	Argila vermelha, rija	
	6,00 - 6,45	10	Argila vermelha, rija	
	7,00 - 7,45	8	Argila vermelha, rija	
	8,00 - 8,45	10	Argila vermelha, rija	

Estas sondagens apresentaram o seguinte perfil:

étapas, tendo na primeira 04 (quatro) furos (SPT-01A, SPT-02A, SPT-03A, SPT-04A) e uma segundas com 07 (sete) furos, que foram executados pela Geosonda, Geologia e Sondagem Ltda.

Nível d'água - 13,0 m

Sond.(SPT)	Prof. (m)	Nº Golpes	Descrição	Horizonte do solo
SPT-02	1,00 - 1,45		Argila vermelha	
	2,00 - 2,45		Argila vermelha	
	3,00 - 3,45		Argila vermelha	
	4,00 - 4,45		Argila vermelha	
	5,00 - 5,45		Argila vermelha	
	6,00 - 6,45		Argila vermelha	
	7,00 - 7,45		Argila vermelha	
	8,00 - 8,45		Argila vermelha	
	9,00 - 9,45		Argila vermelha	
	10,00 - 10,45		Argila vermelha	
	11,00 - 11,45		Argila vermelha	
	12,00 - 12,45		Argila vermelha	
	13,00 - 13,45		Argila vermelha	
	14,00 - 14,45		Argila vermelha	
	15,00 - 15,00		Argila vermelha	

Nível d'água - 8,0 m

Sond.(SPT)	Prof. (m)	Nº Golpes	Descrição	Horizonte do solo
SPT-01	1,00 - 1,45	5	Argila vermelha, média	Colúvio
	2,00 - 2,45	7	Argila vermelha, média	Colúvio
	3,00 - 3,45	11	Argila vermelha, riija	
	4,00 - 4,45	11	Argila marrom, riija	
	5,00 - 5,45	10	Argila marrom, riija	
	6,00 - 6,45	9	Argila marrom, riija	
	7,00 - 7,45	11	Argila vermelha, riija	
	8,00 - 8,45	13	Argila vermelha, riija	
	9,00 - 9,45	16	Argila vermelha, muito riija	
	10,00 - 10,45	20	Argila vermelha, muito riija	
	11,00 - 11,10	45	Cascalho	Rocha alterada

Nível d'água - 11,0 m

Sond.(SPT)	Prof. (m)	Nº Golpes	Descrição	Horizonte do solo
SPT-04	1,00 - 1,45	5	Argila vermelha, média	Coluvio
	2,00 - 2,45	5	Argila vermelha, média	Coluvio
	3,00 - 3,45	6	Argila vermelha, média	Coluvio
	4,00 - 4,45	4	Argila vermelha, mole	Coluvio
	5,00 - 5,45	5	Argila vermelha, média	Coluvio
	6,00 - 6,45	6	Argila vermelha, média	Coluvio
	7,00 - 7,45	6	Argila vermelha, média	Coluvio
	8,00 - 8,45	7	Argila vermelha, rija	Coluvio
	9,00 - 9,45	10	Argila vermelha, rija	Coluvio
	10,00 - 10,45	9	Argila vermelha, rija	Coluvio
	11,00 - 11,45	9	Argila vermelha, rija	Coluvio
	12,00 - 12,45	11	Argila marrom, rija	Coluvio
	13,00 - 13,45	12	Argila marrom, rija	Coluvio
	14,00 - 14,30	18	Argila marrom, rija	Coluvio
	15,00 - 15,00	45	Cascalho	Rocha alterada

Nível d'água - 9,5 m

Sond.(SPT)	Prof. (m)	Nº Golpes	Descrição	Horizonte do solo
SPT-03	1,00 - 1,45	9	Argila vermelha, rija	Coluvio
	2,00 - 2,45	9	Argila vermelha, rija	Coluvio
	3,00 - 3,45	8	Argila vermelha, média	Coluvio
	4,00 - 4,45	9	Argila vermelha, rija	Coluvio
	5,00 - 5,45	10	Argila vermelha, rija	Coluvio
	6,00 - 6,45	14	Argila vermelha, rija	Coluvio
	7,00 - 7,45	12	Argila vermelha, rija	Coluvio
	8,00 - 8,45	13	Argila vermelha, rija	Coluvio
	9,00 - 9,45	9	Argila vermelha, rija	Coluvio
	10,00 - 10,45	8	Argila vermelha, média	Coluvio
	11,00 - 11,45	9	Argila vermelha, rija	Coluvio
	12,00 - 12,45	10	Argila vermelha, rija	Coluvio
	13,00 - 13,45	13	Argila vermelha, rija	Coluvio
	14,00 - 14,30	45	Cascalho	

Sond.(SPT)	Prof. (m)	Nº Golpes	Descrição	Horizonte do solo	Nível d'água - 10,0 m
SPT-06	1,00 - 1,45	11	Argila vermelha, rija	Coluvio	
	2,00 - 2,45	9	Argila vermelha, rija	Coluvio	
	3,00 - 3,45	8	Argila vermelha, média	Coluvio	
	4,00 - 4,45	8	Argila vermelha, média	Coluvio	
	5,00 - 5,45	9	Argila vermelha, média	Coluvio	
	6,00 - 6,45	7	Argila vermelha, rija	Coluvio	
	7,00 - 7,45	8	Argila marrom, média	Coluvio	
	8,00 - 8,45	7	Argila marrom, média	Coluvio	
	9,00 - 9,45	5	Argila marrom, média	Coluvio	
	10,00 - 10,45	6	Argila marrom, média	Coluvio	
	11,00 - 11,45	6	Argila marrom, média	Coluvio	
	12,00 - 12,45	7	Argila marrom, média	Coluvio	
	13,00 - 13,45	8	Argila marrom, média	Coluvio	
	14,00 - 14,30	9	Argila marrom, rija	Coluvio	
	15,00 - 15,00	12	Argila marrom, rija	Coluvio	
	16,00 - 16,00	15	Argila vermelha, rija	Coluvio	
	17,00 - 17,30	45	Cascalho	Rocha alterada	

Sond.(SPT)	Prof. (m)	Nº Golpes	Descrição	Horizonte do solo	Nível d'água - 8,0 m
SPT-05	1,00 - 1,45	Argila vermelha	Coluvio		
	2,00 - 2,45	Argila vermelha	Coluvio		
	3,00 - 3,45	Argila vermelha	Coluvio		
	4,00 - 4,45	Argila vermelha	Coluvio		
	5,00 - 5,45	Argila vermelha	Coluvio		
	6,00 - 6,45	Argila vermelha	Coluvio		
	7,00 - 7,45	Argila vermelha	Coluvio		
	8,00 - 8,45	Argila vermelha	Coluvio		
	9,00 - 9,45	Argila vermelha	Coluvio		
	10,00 - 10,45	Argila vermelha	Coluvio		
	11,00 - 11,45	Argila vermelha	Coluvio		
	12,00 - 12,45	Argila vermelha	Coluvio		
	13,00 - 13,45	Argila vermelha	Coluvio		
	14,00 - 14,45	Argila vermelha	Coluvio		
	15,00 - 15,00	Argila vermelha	Coluvio		

Com os dados obtidos nas sondagens determinou-se as espessuras do solo, cota do topo rochoso e cota do nível d'água, da Área I, mostros na tabela 10.6. Com os elementos contidos na tabela 10.6 é elaborou-se o mapa de isópoas da espessura do solo (fig. 10.9).

- Segão 08 - D - D - SPT-03A, SPT-03, SPT-06.
- Segão 07 - C - C - SPT-07, SPT-06, SPT-05;
- Segão 06 - B - B - SPT-04, SPT-03, SPT-02;
- Segão 05 - A - A - SPT-01, SPT-03A, SPT-02A;

e uma de S para N, ou seja:

Assim, foram realizadas segões, que se encontram em anexo 05, no sentido de W para E quanto transversal, a fim de se melhor visualizar seu condicionamento.

Ao longo da Área I efetuou-se segões geológico/geotécnicas, tanto no sentido longitudinal,

industrial

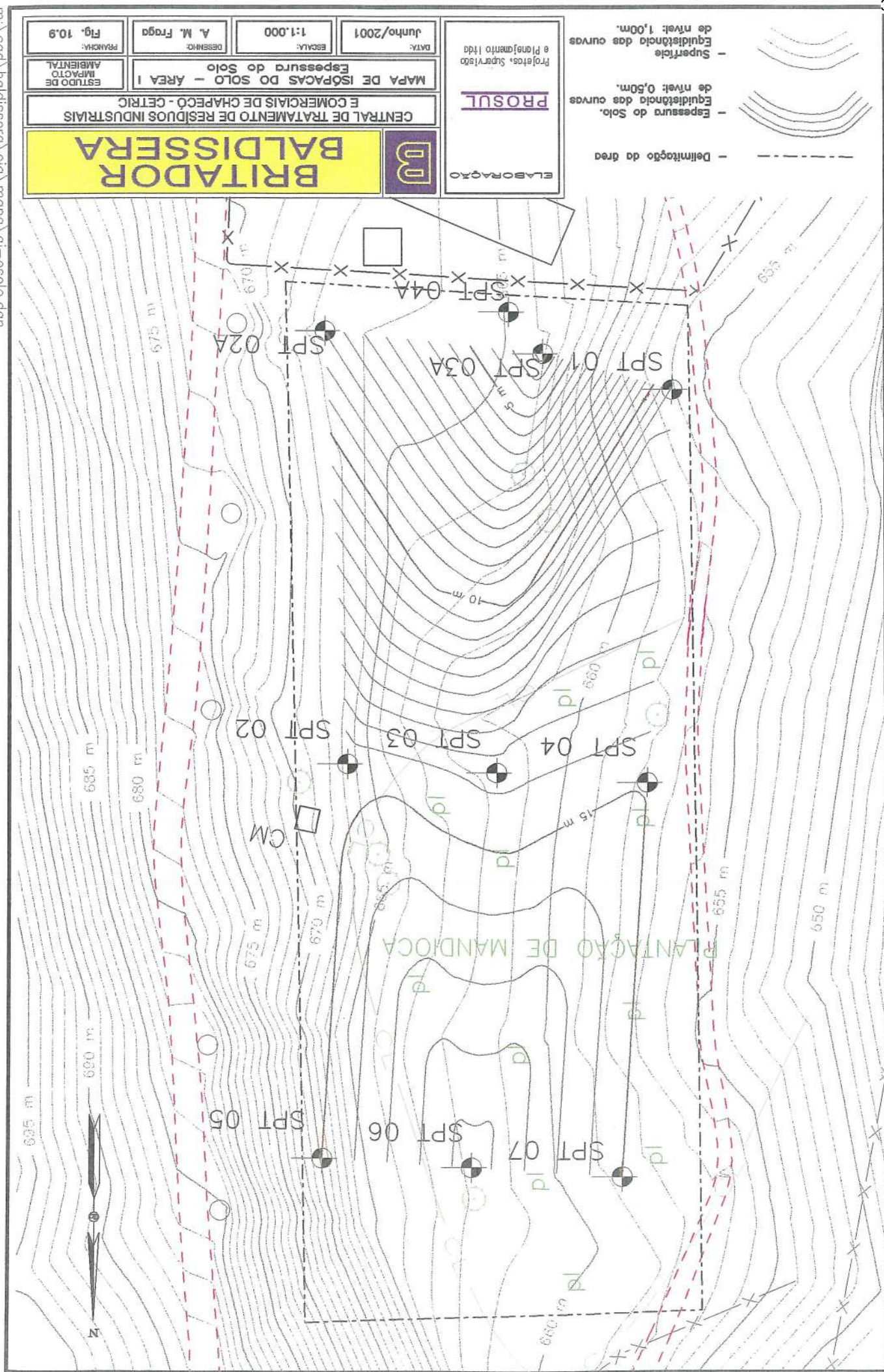
10.1.2.13.5 Características geotécnicas da Área I e a zona de influência direta do aterro

Nível d'água - 12,0 m

Sond. (SPT)	Prof. (m)	Nº Golpes	Descrição	Horizonte do solo
SPT-07	1,00 - 1,45		Argila vermelha	Colutivo
	2,00 - 2,45		Argila vermelha	Colutivo
	3,00 - 3,45		Argila vermelha	Colutivo
	4,00 - 4,45		Argila vermelha	
	5,00 - 5,45		Argila vermelha	
	6,00 - 6,45		Argila vermelha	
	7,00 - 7,45		Argila vermelha	
	8,00 - 8,45		Argila vermelha	
	9,00 - 9,45		Argila vermelha	
	10,00 - 10,45		Argila vermelha	
	11,00 - 11,45		Argila vermelha	
	12,00 - 12,45		Argila vermelha	
	13,00 - 13,45		Argila vermelha	
	14,00 - 14,45		Argila vermelha	
	15,00 - 15,00		Argila vermelha	

Sondagem	Cota da Sondagem	Espessura do solo	Cota do topo Rochaoso	Nível d'água	Cota do nível d'água
SPT-02A	666,8	>8,45	<658,35	8,45	658,35
SPT-03A	664	3,3	660,7	1,8	662,2
SPT-01	656,1	11,1	645	8	648,1
SPT-02	666,6	>15,0	<651,6	13	653,6
SPT-03	661,7	14,3	647,4	9,5	652,2
SPT-04	657,7	15	642,7	11	646,7
SPT-05	669,9	>15,0	<654,9	8	661,9
SPT-06	661,8	17,3	644,5	10	651,8
SPT-07	658,7	>15,0	<643,7	12	646,7

Tab. 10.6 Determinação da cota do topo rochoso e do nível freático, da Área I.



Este mapa mostra que a espessura do solo na Área I é grande variando de 11,1 m na sondagem SPT-01 a 17,3 m, na sondagem SPT-06. Destacou-se que a sondagem SPT-03A determinou a presença de rocha, a apenas 3,3 m, mas que pode ser interpretado como sendo devido a presença de um matacão ou bloco.

Outra observação que pode ser feita é que a análise do mapa de isóspacas da espessura de solo, caracteriza uma tendência de aumento da espessura do solo no sentido norte da área, fato que forma esta porção da área mais adequadamente implantada a terro industrial, quando analisado somente o aspecto da espessura do solo.

Com os dados de profundidade da rocha elaborou-se o Mapa do Topo Rochoso (fig. 10.10), que mostra a disposição da superfície da rocha, abaixo da camada de solo, na Área I.

As sondagens efetuadas na área colearam informações importantes na identificação do comporamento hidrogeológico da área, através da determinação da posição do nível d'água.

A posição do nível d'água nas sondagens e sua distribuição, possibilidade a determinação espacial do lençol freático e a profundidade no sentido norte, sondagem SPT-07.

Este desnível do lençol freático caracteriza um determinado gradiente hidráulico e definindo profundidade da rocha no lado sul (sondagem SPT-3A).

10.1.1. O fluxo da água subterrânea no sentido sul para norte se deve a menor o sentido das linhas de fluxo da água subterrânea, como pode ser visualizado na figura 10.11. Analisando este mapa, constata-se que o lençol freático está a menor profundiade no lado sul da Área I, sondagens SPT-03A, SPT-02A, aumentando esta profundidade das linhas de fluxo da água subterrânea, sob o ponto de vista hidrogeológico, a porção norte da Área I forra da Área I, em seu lado norte.

As linhas de fluxo da Área I tendem a convergir para o ponto, onde há surgença de águas, forra da Área I, em seu lado norte.

Portanto, sob o ponto de vista unicamente hidrogeológico, a porção norte da Área I mostra-se mais adequada à implantação do aterro industrial, pois mostra uma profundidade maior do lençol freático.

Locais gádo da Área II - alternativa para o aterro industrial destas.

A Área II está situada em uma área de cultivo, proximo a um galinheiro e uma linha elétrica, entre as cotas 695 e 716 m. Esta afastada cerca de 130 m da Área I e a leste deles.

cores avermelhadas e espessura da ordem de 3 m. Sobre estes horizontes constata-se um depósito coluvial avermelhado, com espessura entre 1 e 1,5 m. Segue a zona colunar do derrame superior, que vem sendo explorada para a produção de brita, compreendida entre 647 e 626 m, portanto uma espessura de 21 m. O derrame inferior está contido na bancada inferior da pedreira, tendo na parte superior a zona amigdaloidé, com cor marrom avermelhada, espessura média de 3 m, compreendido entre as cotas 626 e 623 bancada inferior da pedreira, tendo na parte superior a zona amigdaloidé, com cor marrom avermelhada, espessura média de 3 m, compreendido entre as cotas 626 e 623

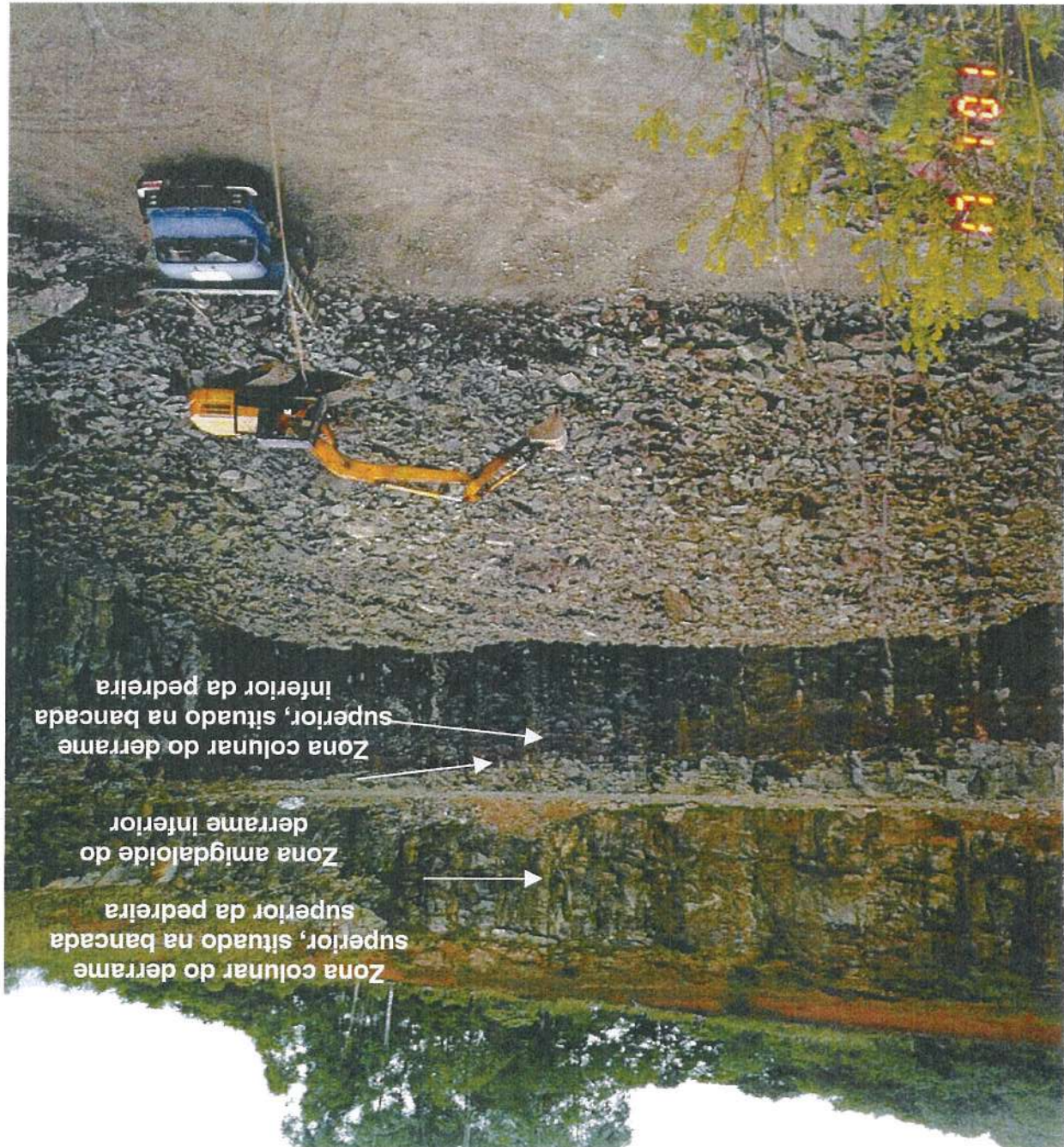


Fig. 10.4 - Pedreira Baldeirera onde se observam dois derrames basálticos. No derrame superior a zona amigdaloidé se encontra alterada, representada pelo horizonte C e B, com

o que comprova ser esta zona, a de maior permeabilidade no derame basáltico. Superior e o inferior, vendo-se a água percolar pela zona amigdaloidé do derame inferior, Fig. 10.6 Na Pedreira Baldissera, pode-se observar o contato entre dois derames, o

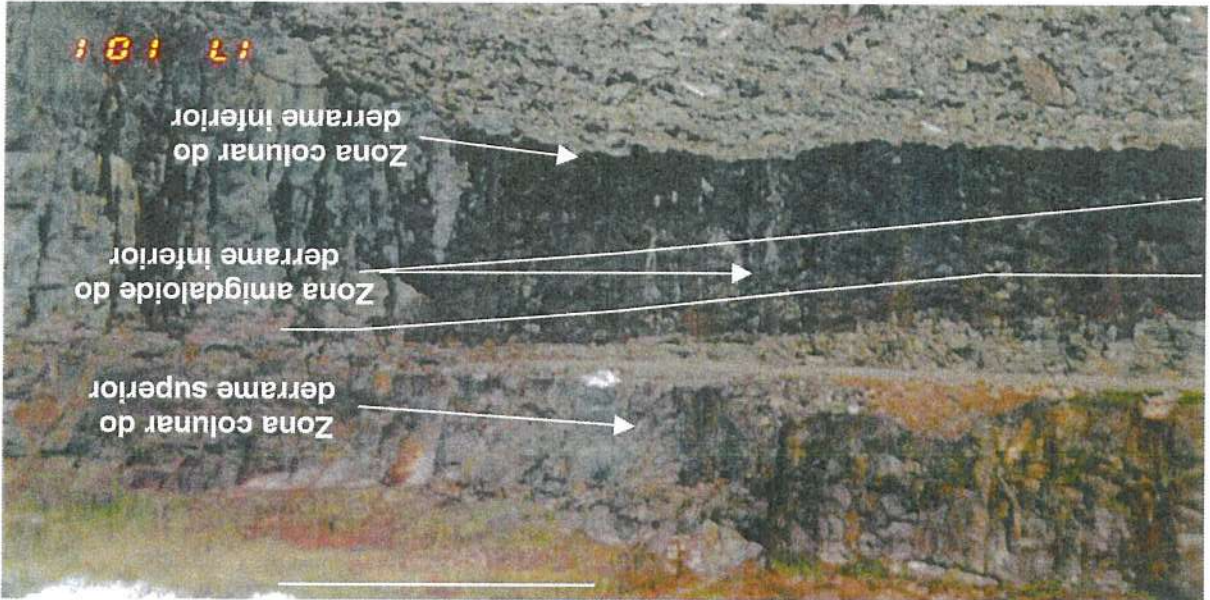
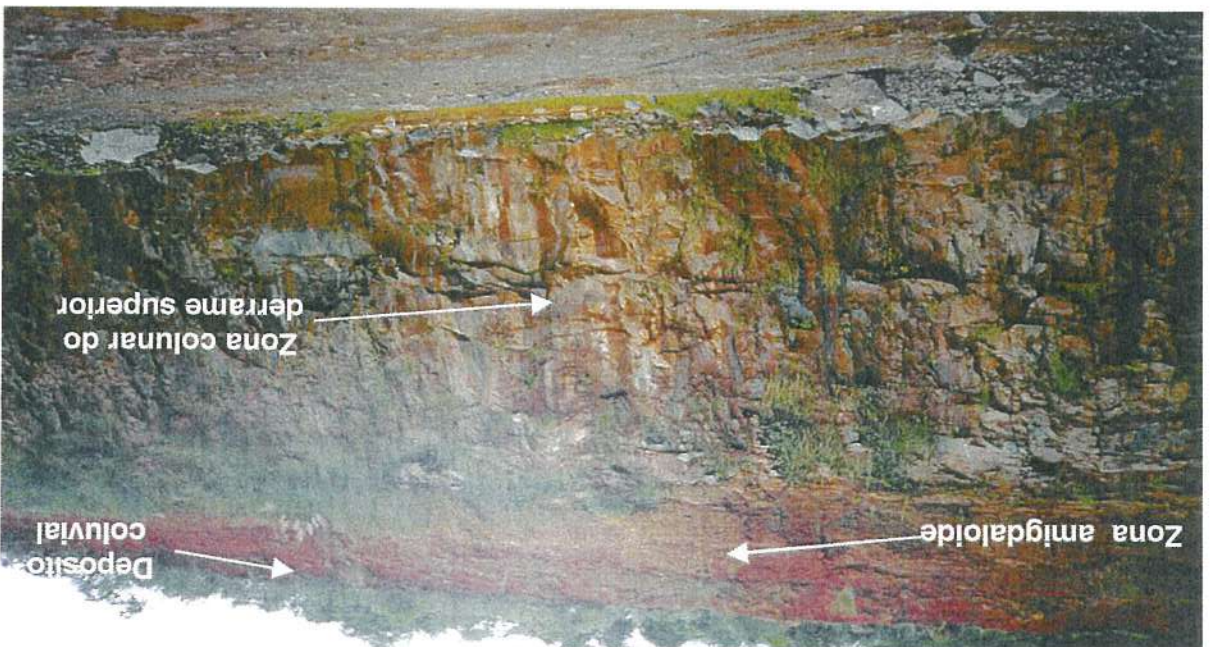
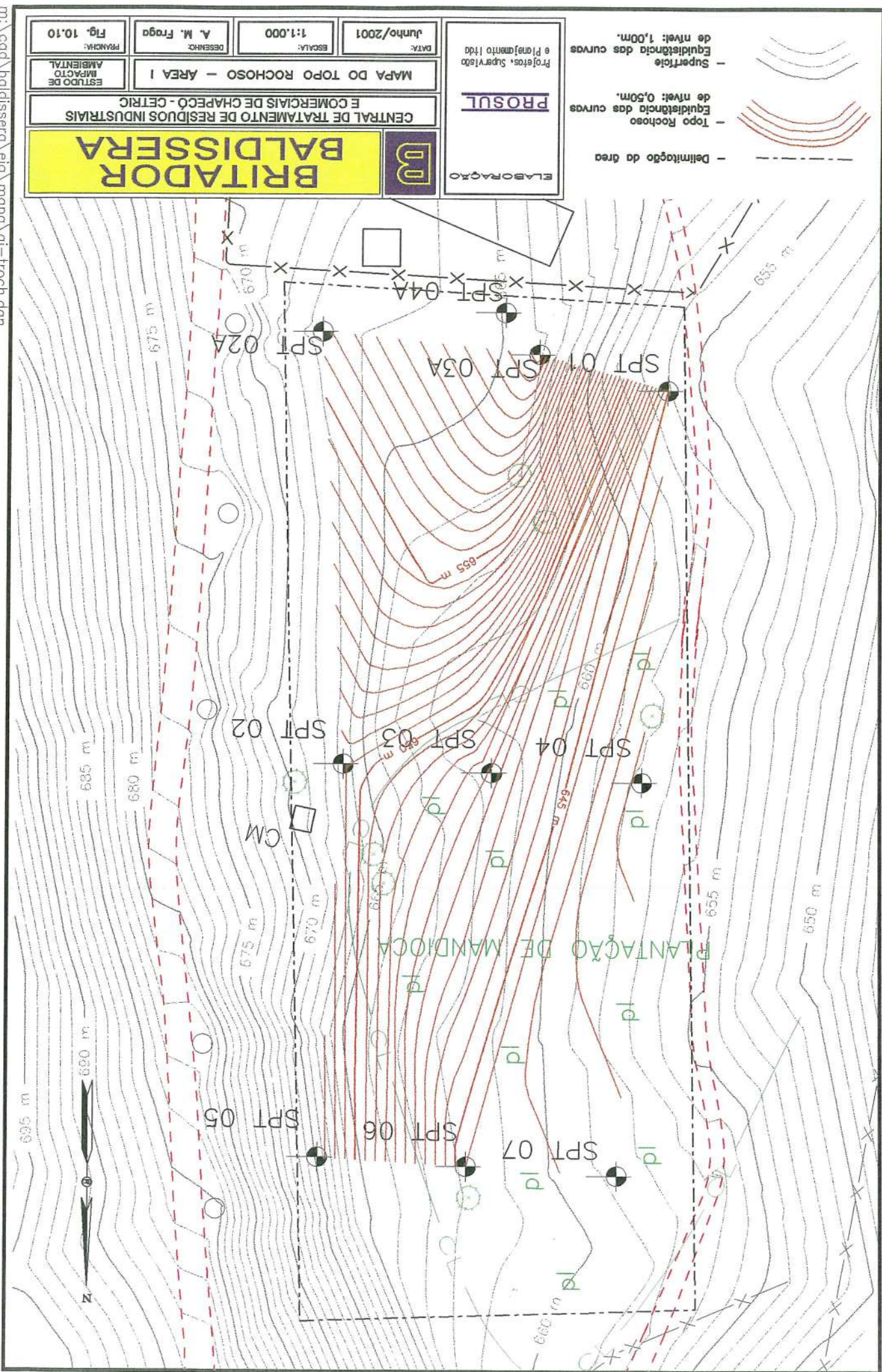
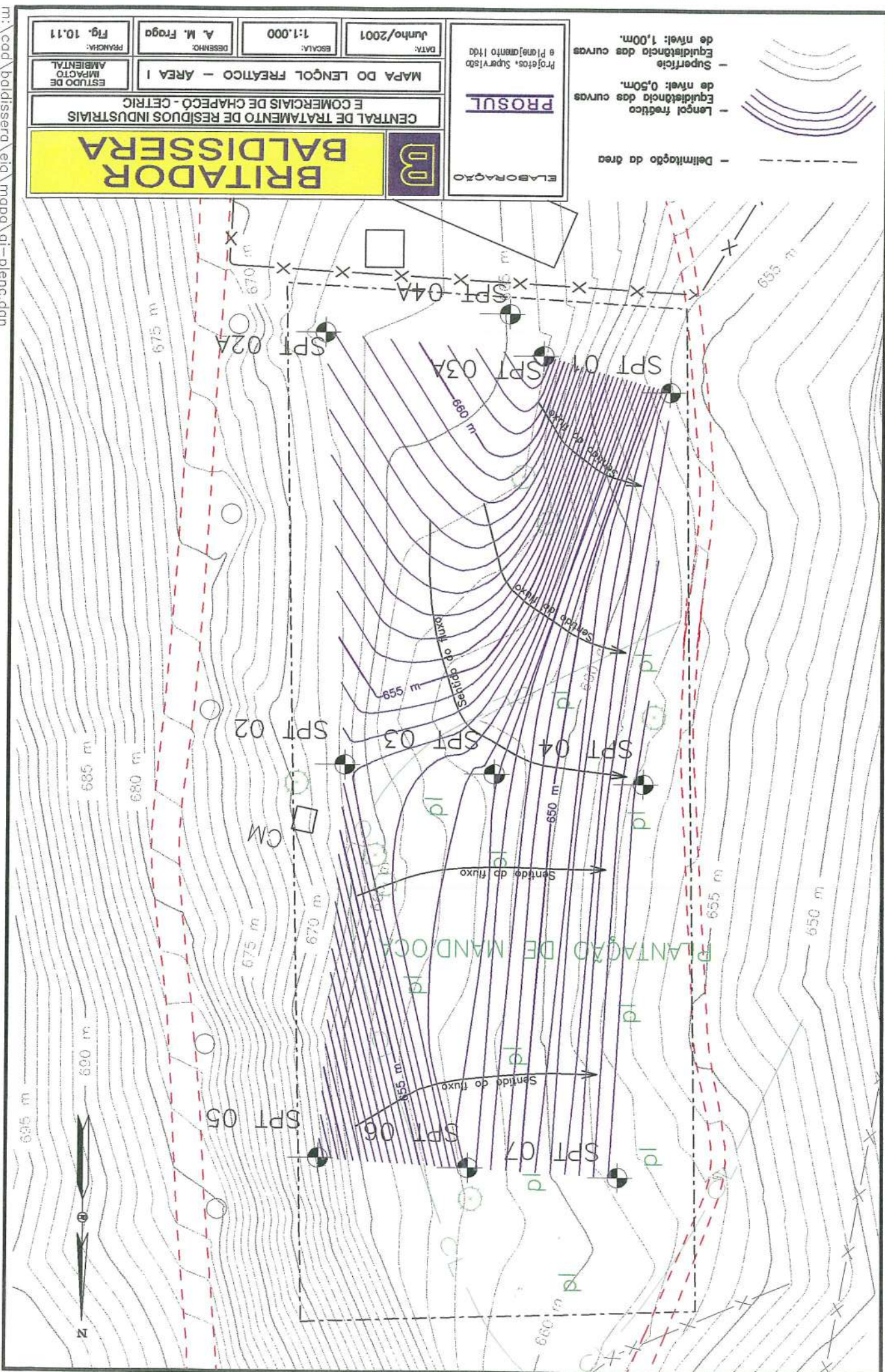


Fig. 10.5 Derame basáltico superior observado na Pedreira Baldissera, onde a zona amigdaloidé é totalmente alterada à solo, com coloração equigranular fino, cinza escuro, maciço, columnar do derame superior, formada por basalto equigranular fino, cinza escuro, maciço, com fracturamento espaldado de 10 a 80 cm.



m. Segue a zona colunar do derame inferior, até a cota da praga da pedreira.





10.1.2.13.7 Geologia da Área II e a zona de influência direta do aterro industrial

Na Área II não se constatou a existência de afloramentos de rocha.

Os afloramentos mais próximos estão localizados no talude da estrada que dá acesso à Pedreira Baldissera, onde se constatou a presença de riocacto pôrfiro ate as cotas 685 m (fig. 10.12).

O relvado ondulado suave (fig. 10.12), o solo argiloso siloso avermelhado, sem matacões em seu meio, a proximidade e cota do riocacto pôrfiro, nos levam a presumir que o substrato rochoso da Área II deva ser formado pelo riocacto pôrfiro.

Fig. 10.12 Na Área II ocorre o riocacto pôrfiro, com relvado ondulado suave, com solo argiloso siloso avermelhado.



10.1.2.13.8 Geomorfologia da Área II e característica de uma área de ocorrência de derames ácidos, corresponsante aos riocactos. O fracturamento predominantemente horizontalizado a rocha, devido ao seu plano fluidal, favorece ao desenvolvimento horizontabilizado de A geomorfologia da Área II é característica de uma área de ocorrência de derames ácidos, podendo ocorrer, localmente escarpas, onde podem se formar ondulações d'água. A Área II apresenta um relevo ondulado suave, desenvolvendo na porção mais elevada, sem uma drenagem tipicamente encaxizada.

10.1.2.13.9 Investigação geotécnica da Área II e a zona de influência direta do aterro industrial

Com o objetivo de se determinar as características geotécnicas dos solos da Área II foi estabelecida uma malha de sondagem à percussão (SPT), com 09 (nove) furos, que formam executados pela Geosonda, Geologia e Sondagem Ltda.

Estas sondagens apresentaram o seguinte perfil:

Nível d'água - 5,0 m

Sond.(SPT)	Prof. (m)	Nº Golpes	Descrição	Horizonte do solo
SPT-03	1,00 - 1,45	9	Argila vermelha, riija	Colúvio
	2,00 - 2,45	8	Argila vermelha, média	Colúvio
	3,00 - 3,45	5	Argila vermelha, média	Colúvio
	4,00 - 4,45	5	Argila marrom, média	Colúvio
	5,00 - 5,45	4	Argila marrom, molé	
	6,00 - 6,45	4	Argila marrom, molé	
	7,00 - 7,45	5	Argila marrom, média	
	8,00 - 8,45	52	Argila cinza, dura	
	9,00 - 9,20	45	Cascalho	

Nível d'água - 6,5 m

Sond.(SPT)	Prof. (m)	Nº Golpes	Descrição	Horizonte do solo
SPT-02	1,00 - 1,45	5	Argila vermelha, média	Colúvio
	2,00 - 2,45	5	Argila vermelha, molé	Colúvio
	3,00 - 3,45	3	Argila vermelha, média	Colúvio
	4,00 - 4,45	11	Argila vermelha, riija	
	5,00 - 5,45	13	Argila cinza, riija	
	6,00 - 6,45	11	Argila cinza, riija	
	7,00 - 7,45	10	Argila cinza, riija	
	8,00 - 8,45	13	Argila cinza, riija	
	9,00 - 9,45	33	Argila cinza, dura	
	9,45 - 9,60	45/15	Cascalho	

Nível d'água - 7,0 m

Sond.(SPT)	Prof. (m)	Nº Golpes	Descrição	Horizonte do solo
SPT-01	1,00 - 1,45	3	Argila vermelha, molé	Colúvio
	2,00 - 2,45	3	Argila vermelha, molé	Colúvio
	3,00 - 3,45	4	Argila cinza, molé	Colúvio
	4,00 - 4,45	5	Argila cinza, média	
	5,00 - 5,45	7	Argila cinza, média	
	6,00 - 6,45	17	Argila cinza, muito riija	
	7,00 - 7,45	14	Argila cinza, riija	
	8,00 - 8,45	20	Argila cinza, muito riija	
	9,00 - 9,30	45	Cascalho	

Nível d'água - 12,0 m

Sond.(SPT)	Prof. (m)	Nº Golpes	Descrição	Horizonte do solo
SPT-07	1,00 - 1,45	5	Argila vermelha, média	Colúvio
	2,00 - 2,45	5	Argila vermelha, média	Colúvio
	3,00 - 3,45	5	Argila vermelha, média	Colúvio
	4,00 - 4,45	7	Argila vermelha, média	Colúvio
	5,00 - 5,45	12	Argila vermelha, rija	
	6,00 - 6,45	11	Argila vermelha, rija	
	7,00 - 7,45	11	Argila vermelha, rija	
	8,00 - 8,45	10	Argila marrom, rija	
	9,00 - 9,45	9	Argila marrom, média	
	10,00 - 10,45	8	Argila marrom, média	
	11,00 - 11,45	8	Argila marrom, média	
	12,00 - 12,45	14	Argila marrom, rija	
	13,00 - 13,45	80	Argila marrom, dura	
	13,45 - 13,50	45	Cascalho	

Nível d'água - 3,0 m

Sond.(SPT)	Prof. (m)	Nº Golpes	Descrição	Horizonte do solo
SPT-06	1,00 - 1,45		Argila vermelha	Colúvio
	2,00 - 2,45		Argila vermelha	Colúvio
	3,00 - 3,45		Argila vermelha	Colúvio
	4,00 - 4,20		Argila vermelha	
	3,00 - 3,80		Argila vermelha	
	2,00 - 2,45		Argila vermelha	
	1,00 - 1,45		Argila vermelha	

Nível d'água - 1,8 m

Sond.(SPT)	Prof. (m)	Nº Golpes	Descrição	Horizonte do solo
SPT-05	1,00 - 1,45		Argila vermelha	Colúvio
	2,00 - 2,45		Argila vermelha	Colúvio
	3,00 - 3,80		Argila vermelha	Colúvio
	3,00 - 3,45		Argila cinza, muita rija	Colúvio
	2,00 - 2,45	5	Argila cinza, média	Colúvio
	1,00 - 1,45	5	Argila cinza, molde	Colúvio

Nível d'água - 4,2 m

Sond.(SPT)	Prof. (m)	Nº Golpes	Descrição	Horizonte do solo
SPT-04	1,00 - 1,45	3	Argila cinza, molde	Colúvio
	2,00 - 2,45	5	Argila cinza, média	Colúvio
	3,00 - 3,45	30	Argila cinza, muita rija	Colúvio
	4,00 - 4,45	29	Argila cinza, muita rija	
	5,00 - 5,10	45	Argila vermelha	

Ao longo da Área II efetuou-se seções geológico/geotécnicas, tanto no sentido longitudinal, quanto transversal, a fim de se melhor visualizar seu condicionamento. Assim,

10.1.2.13.10 Características geotécnicas da Área II e a zona de influência direta do aterro industrial

Sond.(SPT)	Prof. (m)	Nº Golpes	Descrição	Horizonte do solo	Nível d'água - 10,2 m
SPT-09	1,00 - 1,45	6	Argila vermelha, média	Colúvio	
	2,00 - 2,45	6	Argila vermelha, média	Colúvio	
	3,00 - 3,45	7	Argila vermelha, média	Colúvio	
	4,00 - 4,45	8	Argila vermelha, média	Colúvio	
	5,00 - 5,45	9	Argila vermelha, média	Colúvio	
	6,00 - 6,45	10	Argila vermelha, média	Colúvio	
	7,00 - 7,45	13	Argila vermelha, média	Colúvio	
	8,00 - 8,45	10	Argila vermelha, média	Colúvio	
	9,00 - 9,45	11	Argila vermelha, média	Colúvio	
	10,00 - 10,45	11	Argila vermelha, média	Colúvio	
	11,00 - 11,45	10	Argila vermelha, média	Colúvio	
	12,00 - 12,45	11	Argila vermelha, média	Colúvio	
	13,00 - 13,45	17	Argila vermelha, muito rija		
	14,00 - 14,45	22	Argila vermelha, muito rija		
	14,45 - 14,80	90	Cascalho		

Sond.(SPT)	Prof. (m)	Nº Golpes	Descrição	Horizonte do solo	Nível d'água - 16,40 m
SPT-08	1,00 - 1,45	7	Argila vermelha, média	Colúvio	
	2,00 - 2,45	8	Argila vermelha, média	Colúvio	
	3,00 - 3,45	8	Argila vermelha, média	Colúvio	
	4,00 - 4,45	9	Argila vermelha, rija		
	5,00 - 5,45	11	Argila vermelha, rija		
	6,00 - 6,45	13	Argila vermelha, rija		
	7,00 - 7,45	11	Argila vermelha, rija		
	8,00 - 8,45	15	Argila vermelha, rija		
	9,00 - 9,45	10	Argila marrom, rija		
	10,00 - 10,45	8	Argila marrom, média		
	11,00 - 11,45	7	Argila marrom, média		
	12,00 - 12,45	6	Argila marrom, média		
	13,00 - 13,45	5	Argila marrom, média		
	14,00 - 14,45	6	Argila marrom, média		
	15,00 - 15,45	20	Argila marrom, muito rija		
	16,00 - 16,40	90	Cascalho		

(fig. 10.14), que mostra a disposição da superfície da rocha abaixo da camada de solo. Com os dados de profundidade da rocha, elaborou-se o Mapa do Topo Rochoso da Área II

Este mapa mostra importante, pois evidencia que a porção NE da Área II é mais adequadamente implantado do setor industrial, quando analisado somente o aspecto da espessura do solo.

Tab. 10.7 Determinação da cota do topo rochoso e do lençol freático da Área II.

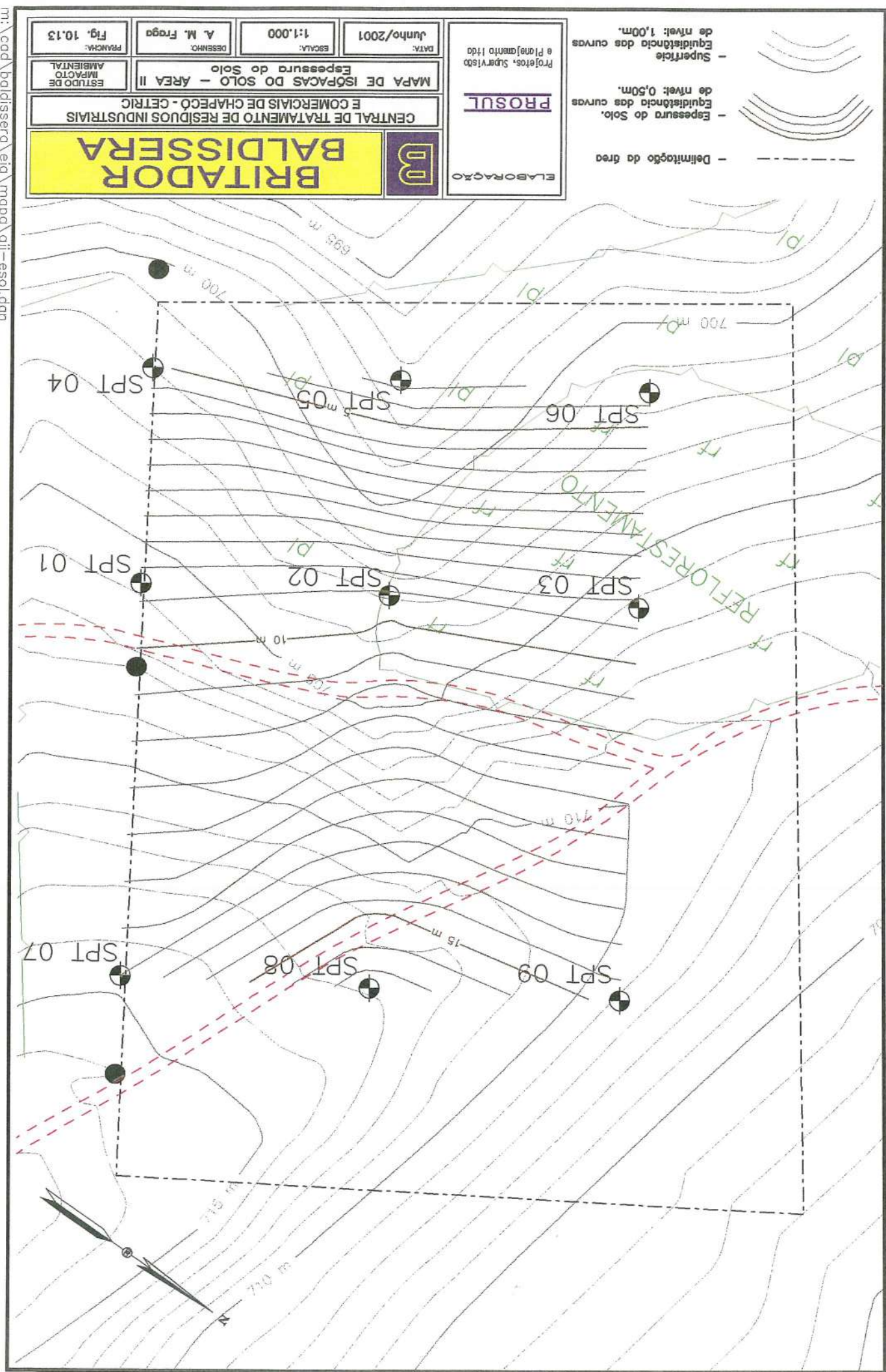
Sondagem	Cota da Sondagem	Espessura do solo	Cota do rochoso	Nível d'água	Cota do nível
SPT-09	708,9	14,8	694,1	10,2	698,7
SPT-08	713	16,4	696,6	16,4	696,6
SPT-07	714,8	13,5	701,3	12	702,8
SPT-06	701,7	4,2	697,5	3	698,7
SPT-05	697,4	3,8	693,6	1,8	695,6
SPT-04	702	5,1	696,9	4,2	697,8
SPT-03	706,2	9,2	697	5	701,2
SPT-02	703	9,6	693,4	6,5	696,5
SPT-01	705,8	9,3	696,5	7	698,8

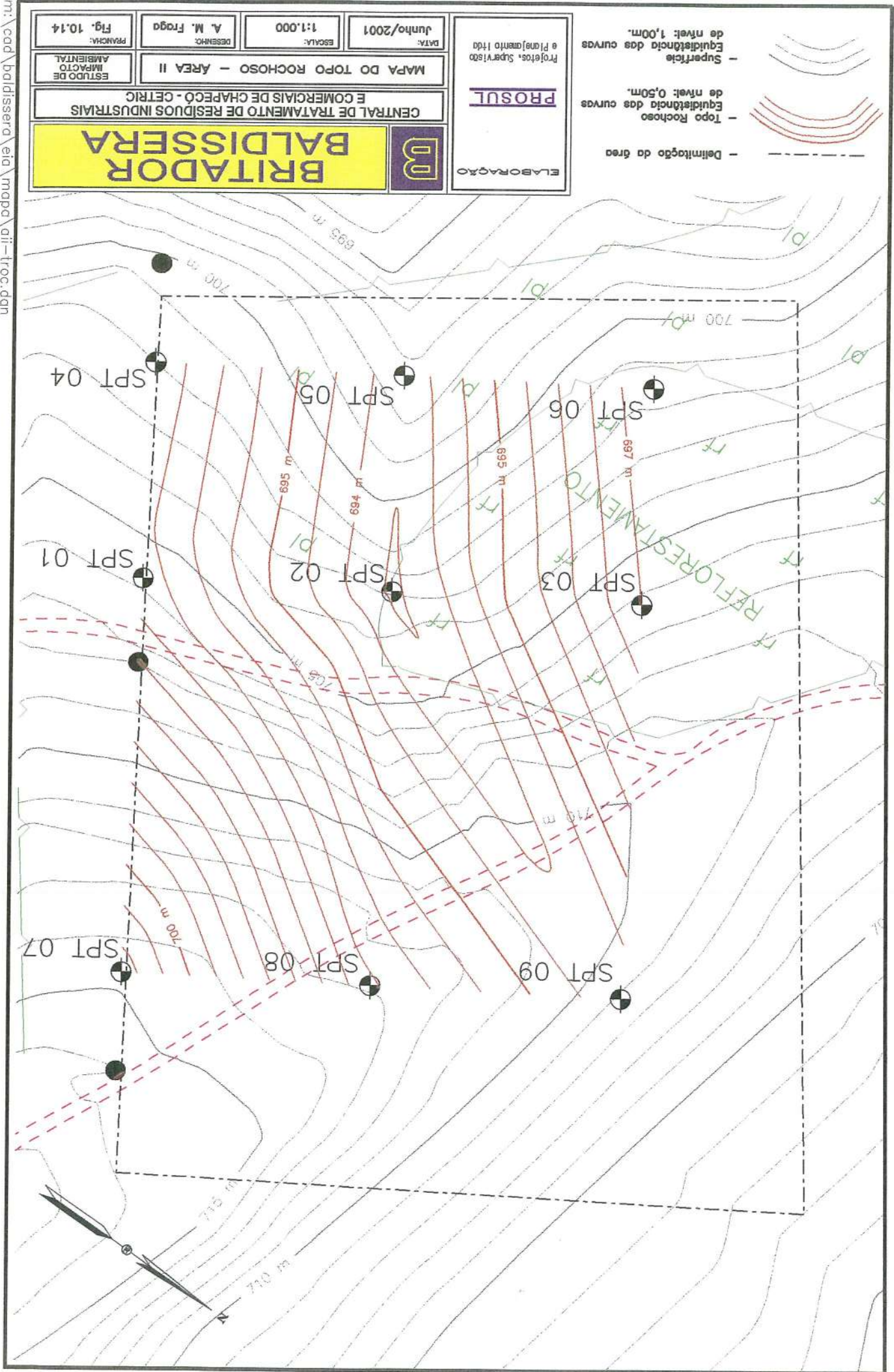
Com os dados obtidos nas sondagens determinou-se as espessuras de solo, cota do topo rochoso e cota do nível d'água, da Área II, mostados na tabela 10.7. Com estes elementos obtidos na tabela 10.7, elaborou-se o mapa de isótopos da espessura do solo (fig. 10.13). Este mapa mostra que a espessura de solo vai crescendo da porção de menor cota da área, para a de maior cota, tendo um mínimo de 3,8 m na sondagem SPT-05 e um máximo de 16,4 m na SPT-08.

- Segão 04 - IV - IV - SPT-05, SPT-02, SPT-08;
- Segão 03 - III - III - SPT-09, SPT-08, SPT-07;
- Segão 02 - II - II - SPT-03, SPT-02, SPT-01;
- Segão 01 - I - I - SPT-06, SPT-05, SPT-04;

uma de SW para NE, ou seja:

foram realizadas segões, que se encontram em anexo 05, no sentido de NW para SE e





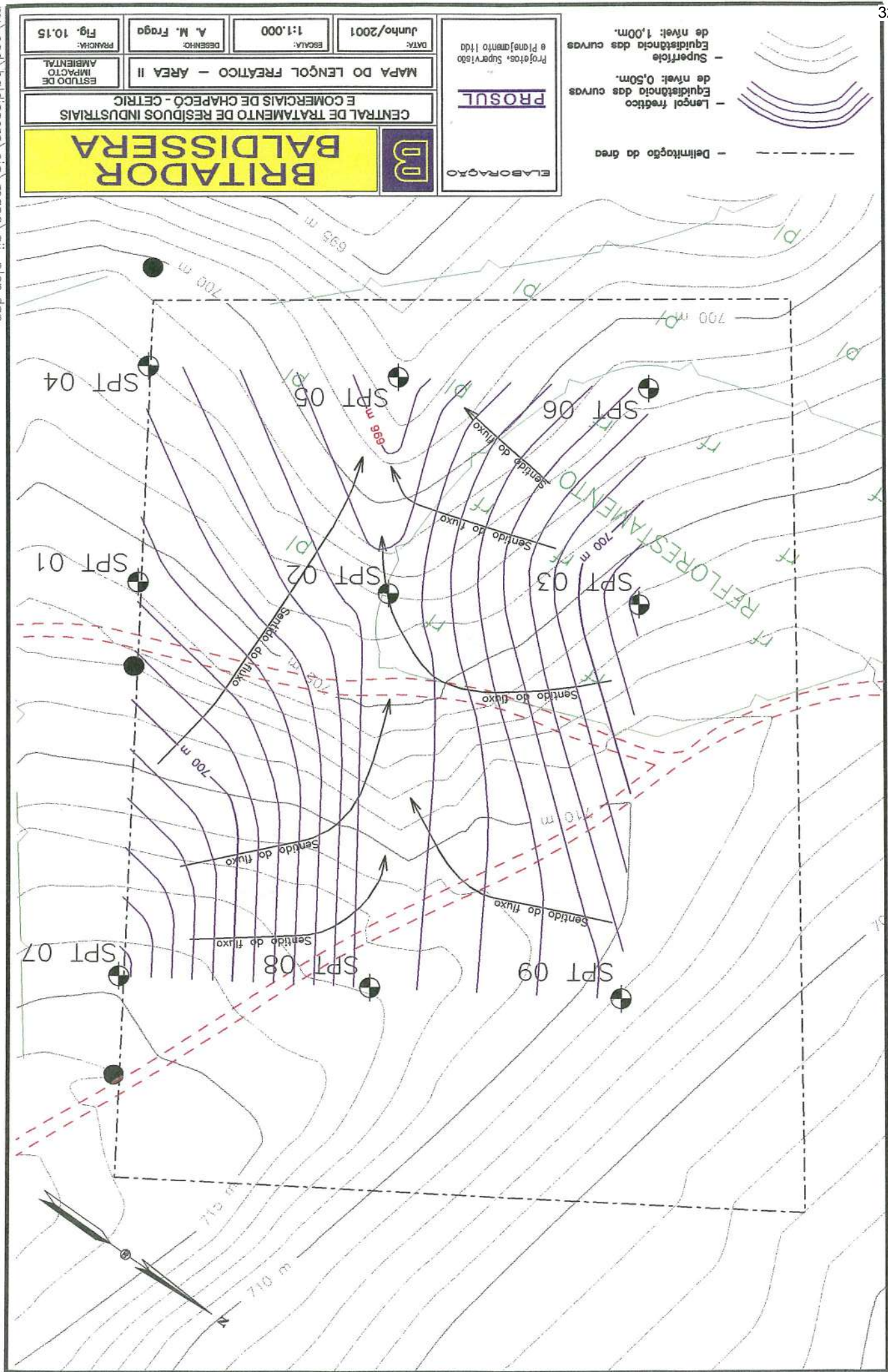
10.1.2.13.11 Condiionamento hidrogeológico da Área II e a zona de influência direta do solo das sondagens efetuadas na área coletaram informações importantes na identificação do compotamento hidrogeológico da área, através da determinação da posição do nível d'água nas sondagens e sua distribuição, possibilidade de determinação do nível d'água da Área II (fig. 10.15). Análisando este mapa, constata-se que a água subterrânea freática da Área II (fig. 10.16), possivelmente hidráulico especializado ao nível d'água das sondagens SPT-02 e SPT-05, confirme mostra o mapa do nível freático da Área II convergir em direção ao talvegue, caracterizado pelo exo formado pelas sondagens SPT-05, SPT-02 e SPT-08, conforme mostrado no mapa do nível freático da Área II (fig. 10.16). Um único ponto anômalo foi da posição do nível d'água foi identificado na sondagem SPT-09, pois esta 2,1 m acima da cota do nível d'água na sondagem SPT-08, quando seria esperado o contrário. Esta anomalia pode ser explicada por uma determinação de campo efetuada, logo após a sondagem e não com o mínimo de 24 horas.

Estas informações nos levam a conclusão, que, unicamente sob o ponto de vista hidrogeológico, a porção nordeste da área mostra-se mais adequado à implantação industrial, pois mostra uma profundidade maior do nível freático.

Outras informações nos levam a conclusão, que, unicamente sob o ponto de vista hidrogeológico, a porção nordeste da área mostra-se mais adequado à implantação industrial, pois mostra uma profundidade maior do nível freático.

As sondagens efetuadas na área coletaram informações importantes na identificação do compotamento hidrogeológico da área, através da determinação da posição do nível d'água da Área II e a zona de influência direta do solo das sondagens e sua distribuição, possivelmente hidráulico especializado ao nível d'água.

A posição do nível d'água nas sondagens e sua distribuição, possibilidade de determinação do nível d'água da Área II (fig. 10.15). Análisando este mapa, constata-se que a água subterrânea freática da Área II (fig. 10.16), possivelmente hidráulico especializado ao nível d'água das sondagens SPT-02 e SPT-05, confirme mostra o mapa do nível freático da Área II convergir em direção ao talvegue, caracterizado pelo exo formado pelas sondagens SPT-05, SPT-02 e SPT-08, conforme mostrado no mapa do nível freático da Área II (fig. 10.16). Um único ponto anômalo foi da posição do nível d'água foi identificado na sondagem SPT-09, pois esta 2,1 m acima da cota do nível d'água na sondagem SPT-08, quando seria esperado o contrário. Esta anomalia pode ser explicada por uma determinação de campo efetuada, logo após a sondagem e não com o mínimo de 24 horas.



Analisando os valores da série histórica, pode-se concluir que a região é privilegiada no que diz respeito aos totais anuais de chuva e ao regime de distribuição ao longo do ano, e também é favorável quanto a variabilidade e regularidade de seus totais anuais.

Parâmetros	meses	jan.	fev.	mar.	abr.	mai.	jun.	jul.	ago.	set.	out.	nov.	dez.
Altura média de chuva [mm]	165.2	217.4	121.5	172.8	203.6	165.3	177	135.8	233.5	181.8	170.2	406.5	
Maxima observada [mm]	313.8	499.6	261.4	413.6	482.9	345.8	684.3	269.1	329.7	446	366.7		
Minima observada [mm]	44.3	66.9	37.6	10.3	36.8	38.7	20	21.4	41.9	110.7	59.6	87	
Média dos dias de chuva	13	14	10	10	10	11	11	9	11	13	11	12	
Máximo dos dias de chuva	21	24	20	18	19	15	21	16	16	20	20	20	
Mínimo dos dias de chuva	6	4	2	1	4	4	5	3	7	6	5	7	
Máximo diário observada	102.6	96.7	74.9	106	148.9	98.9	141	106	90.2	113	66.6	107.1	
Mínima diária observada	18.1	26.1	22.2	10.3	15.6	17	17.9	11.4	15.2	33.1	31.2	22.6	

Tab. 10.8 - Médias, máximas e mínimas pluviométricas.

Estes valores podem ser visualizados na tabela 10.8, e nas figuras 10.16 e 10.17.

Com referência em dados obtidos juntamente a estação meteorológica da EPAGRI situada na cidade de Chápecó, citada na caracterização climática, estudo-se as precipitações de nortearias da água no meio ambiente, procurando dar maior ênfase a fatores relevantes ao ambiente, que é objeto de análise deste estudo. Portanto, procurou-se caracterizar, empêndimamente, os dados pluviométricos e demais elementos meteorológicos, assim como base nos dados hidrológicos sazonais que influenciam no balanço hídrico regional.

10.1.3.1.1 Precipitações

O diagnóstico hidrológico produziu analisar os fatores intervenientes nas movimentações naturais da água no meio ambiente, procurando dar maior ênfase a fatores relevantes ao ambiente, que é objeto de análise deste estudo. Portanto, procurou-se caracterizar, empêndimamente, os dados pluviométricos e demais elementos meteorológicos, assim como base nos dados hidrológicos sazonais que influenciam no balanço hídrico regional.

10.1.3.1 Aspectos hidrológicos regionais

10.1.3 Hidrologia

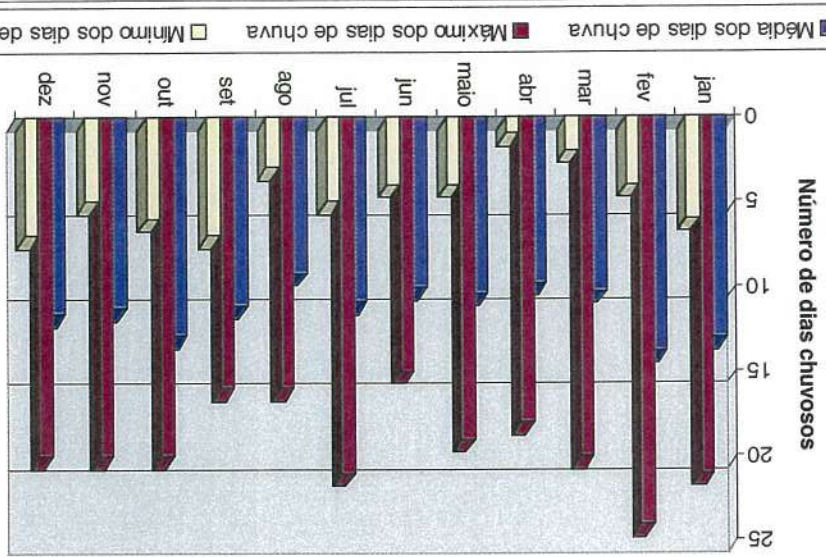


Fig. 10.17 - Histograma dos dias de chuva mensais, mínimos, máximos e médios da estação de Chapecó.

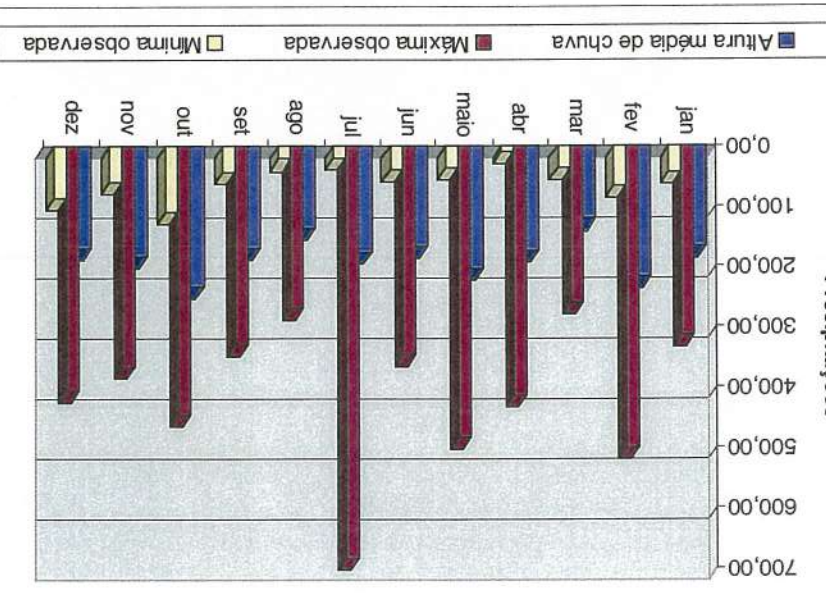


Fig. 10.16 - Regime pluviométrico da estação de Chapecó.

Como a temperatura do ar é um elemento geralmente medido em postos meteorológicos com o auxílio do nomograma elaborado por Palmer & Havens e adaptado por Camargo, A equação de Thornthwaite é bastante complexa para uso prático, mas pode ser aplicada

$$a = 0,675 \cdot 10^6 \cdot p - 0,771 \cdot 10^4 \cdot p + 1,792 \cdot 10^2 \cdot I + 0,49 \quad (3)$$

a: equação cubica da fórmula

$$I = Z_i \text{ para } i \leq 12 \text{ onde } i = (t/5)^{1.514} \quad (2)$$

mensal ($^{\circ}\text{C}$); i um índice de calor correspondente à soma dos 12 índices mensais, onde E é a evapotranspiração potencial não ajustada (cm); t é a temperatura média

$$E = (10t/i)^a \quad (1)$$

Thornthwaite estabeleceu a seguinte equação para um mês de 30 dias.

Usou-se o método de Thornthwaite (Villegas, et. al., 1975), que permite estimar valores de perdas por evapotranspiração com base na temperatura média mensal e na duração do dia.

10.1.3.1.2.2 Método de avaliação da evapotranspiração potencial de Thornthwaite

A determinação de valores de evapotranspiração é de grande importância, pois também é subsidiária para cálculo do balanço hídrico. Para determinação das perdas por evapotranspiração, usou-se métodos indiretos de determinação desse fator meteorológico.

10.1.3.1.2.1 Avaliação da evapotranspiração potencial

“Evapotranspiração potencial é a perda de água por evaporação e transpiração de uma superfície natural tal que estéja totalmente coberta e o teor de umidade estéja proximo a capacidade de campo.”

“Conjunto de evaporação do solo combinada com o fenômeno de transpiração das plantas.”

10.1.3.1.2 Evapotranspiração

O nomograma é apresentado na figura 10.18, juntamente com os valores obtidos de sua utilização para a cidade de Chapeado.

1°C	23,2	22,7	21,6	18,8	15,9	14,1	14,2	15,9	16,8	19,3	21,0	22,6	18,8
jan.	fev.	mar.	abr.	mai.	jun.	jul.	ago.	set.	out.	nov.	dez.	media	

Tab. 10.9 - Temperaturas médias mensais e média anual.

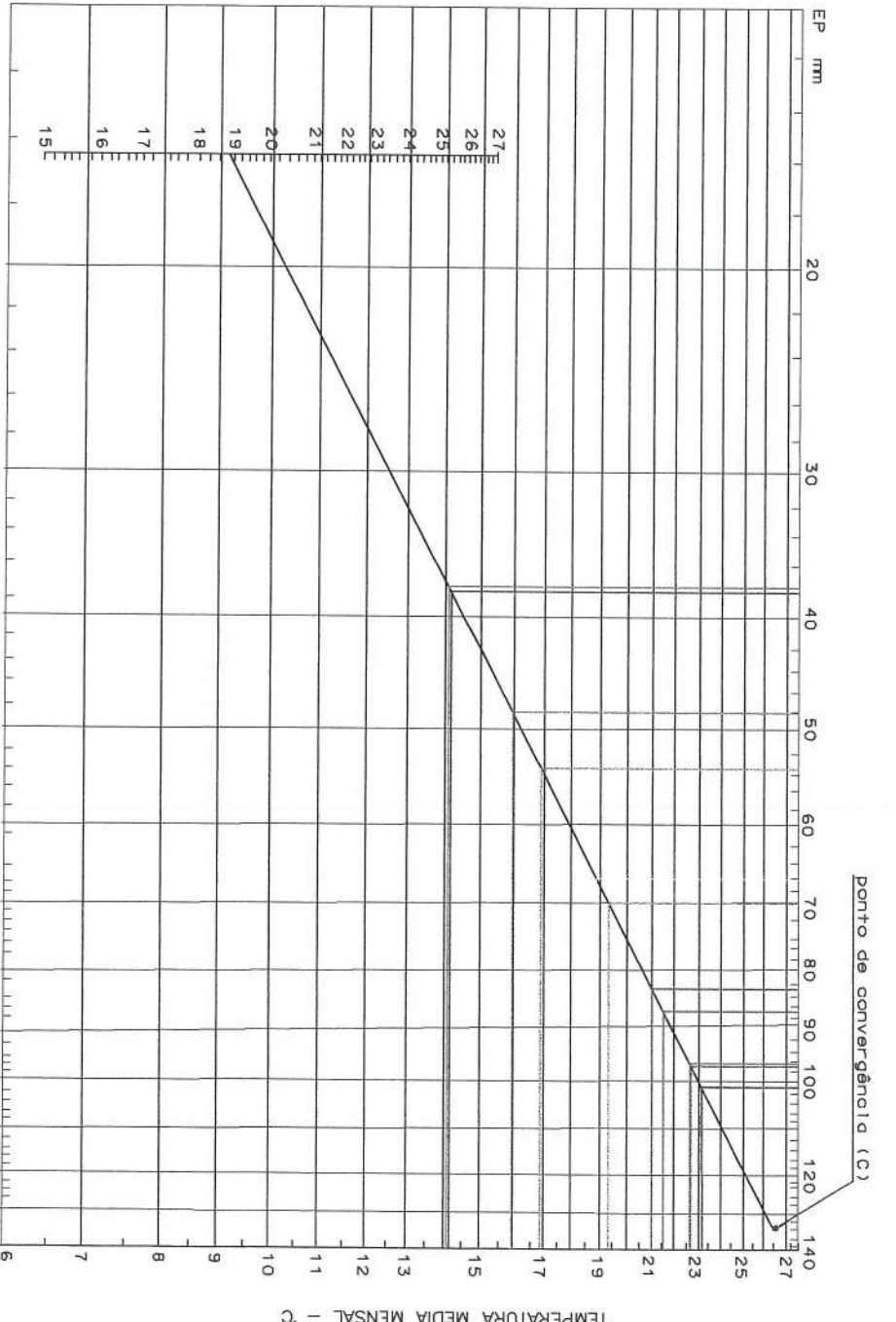
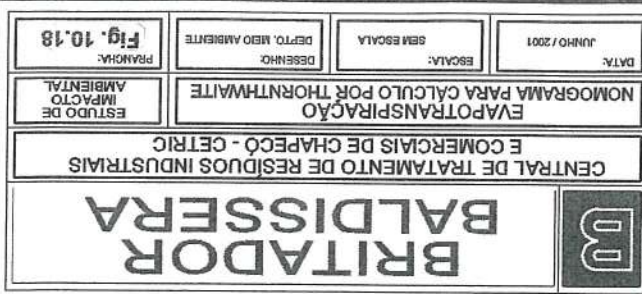
Os valores de temperatura média para os meses do ano, formam conseguindos juntamente a estágio meteorológico de Chapeado, e são apresentados na tabela 10.9.

Usa do nomograma - Toma-se o valor da temperatura média anual, e ligaando ao ponto de convergência (C) determina-se a linha de base. Tomanndo-se agora os valores de temperatura média mensais, usando a escala à direita, e levando-os até a linha de base e rebatendo-os na escala supérior determina-se a evapotranspiração mensal não ajustada para cada mês.

b) temperatura média mensal (°C)

a) temperatura média anual (°C)

com bastante precisão Camargo substitui o índice de calor pela temperatura média anual, construindo um nomograma com:



Nomograma para cálculo da evapotranspiração potencial mensal, não ajustada, pela fórmula de Thornthwaite

Fazendo uma análise regional de macro escala, em relação aos valores de precipitação, temperatura e evapotranspiração pode-se visualizar correlações existentes entre esses fatores num determinado período de tempo.

10.1.3.1.3 Balanço hídrico regional

mes	t	E	Fator de correção [mm]	$E_{ajustado}$ [mm]	$E_{anual \ ajustado} = 900,2$
janeiro	23,2	101,0	1,18	119,2	
fevereiro	22,7	97,0	1,02	98,9	
março	21,6	86,9	1,05	91,2	
abril	18,8	66,0	0,96	63,4	
maio	15,9	48,0	0,93	44,6	
junho	14,1	37,5	0,87	32,6	
julho	14,2	38,0	0,92	35,0	
agosto	15,9	48,0	0,97	46,6	
setembro	16,7	53,4	1,00	83,4	
outubro	19,3	70,0	1,11	77,7	
novembro	21	82,9	1,12	92,8	
dezembro	22,6	96,4	1,19	114,7	

Tab. 10.11 - Determinação da evapotranspiração potencial pelo Método de Thornthwaite

Os resultados são apresentados na tabela 10.11.

lat.	jan.	fev.	mar.	abr.	mai.	jun.	Jul.	ago.	set.	out.	nov.	dez.	27°S
	1,18	1,12	1,05	0,96	0,93	0,87	0,92	0,97	1,00	1,11	1,12	1,19	

Tab. 10.10 - Fatores de correção da evapotranspiração potencial mensal.

Como a região em questão se situa na latitude 27° os fatores de conversão da evapotranspiração potencial, para ajustá-la ao número de dias do mês e a duração do brilho solar diário, nos vários meses do ano, foram retirados da bibliografia de referência, e são apresentados na tabela 10.10.

acordo com a latitude.

Os valores obtidos devem ser ajustados ao comprimento do dia e ao número de dias do mês. Por essa razão, deve-se multiplicar a E por um fator de correção que tabulado de acordo com a latitude.

sendo assim, no balanço hídrico para a região de Chápeu, com base em um período de observação de 20 anos (fig.10.19), estabelece a relação entre a água que é precipitada e as alturas de perdas por evapotranspiração potencial, considerando que não há variação de água acumulada no solo, e o excedente são as águas que formam os escoamentos superficiais.

$$Q = P - E \quad (6)$$

desta forma:

$$E = P - Q \quad (5)$$

Pode-se observar que se ΔR for nulo (mesmo valor das reservas no início e no fim do período considerado) ou desprezível face a P e Q para períodos de observação de longa duração, ter-se-á:

$$P + R = Q + E + R + \Delta R \quad (4)$$

Balanço hídrico:

ATIVO	PASSIVO	Total do PASSIVO	$P + R$	Total do ATIVO
Reservas provenientes de períodos precedentes e águas subterrâneas - $R - E$	Reservas acumuladas no fim do período considerado - $R + \Delta R$	Reservas acumuladas no fim do período considerado	$P + R$	Total do ATIVO
Escoamento no período considerado - Q	Evapotranspiração no período considerado	Escoamentos e águas subterrâneas - $R - E$	$P + R - Q$	Precipitações - P

A fórmula geral do balanço hídrico (Garcez, et. al., 1974), para um determinado período de observação, pode ser esquematizada da seguinte modo:

Rio Itajaí-Açu, escoam no sentido contrário, e tem deságüe no Atlântico. As águas drenadas pela vertente do atlântico, que tem como maior bacia a do Rio Prata. Desta forma as águas drenadas pelas bacias do rio Uruguai e do Rio Iguaçu escoam para o interior do continente tendo como destino final o complexo da serraria do Mar. Segundo sistema de drenagem tem como divisor a serra Geral e na porção norte do estado, a serraria hidrográfica da vertente atlântica, formado por um conjunto de bacias isoladas. Sistema hidrográfico da Estação é constituída por dois sistemas independentes de drenagem: Segundo o Diagnóstico Geral das Bacias Hidrográficas do Estado de Santa Catarina, a rede hidrográfica da Estação é formada por dois sistemas independentes de bacias isoladas.

10.1.4.1 Hidrografia regional

Para elaborar o diagnóstico dos recursos hídricos da área proposta para instalação da Cetnic foi efetuado um levantamento sanitário através de investigações diretas e indiretas, coletas de informações e dados.

10.1.4 Recursos hídricos

Analisa-se a figura 10.19, destacam-se alguns aspectos como exemplo, em que se representa a precipitação, confirmando a classificação climática da região que indica que não há déficit de água. Outro fato relevante, nota-se nos meses de verão (dezembro a fevereiro) que há um aumento considerável na evapotranspiração potencial, podendo gerar algum déficit de água em regiões isoladas que por fatores meteorológicos adversos vêm a margem. Análise de figura 10.19, destaca-se a representação de estagames muito prolongados nessas meses.

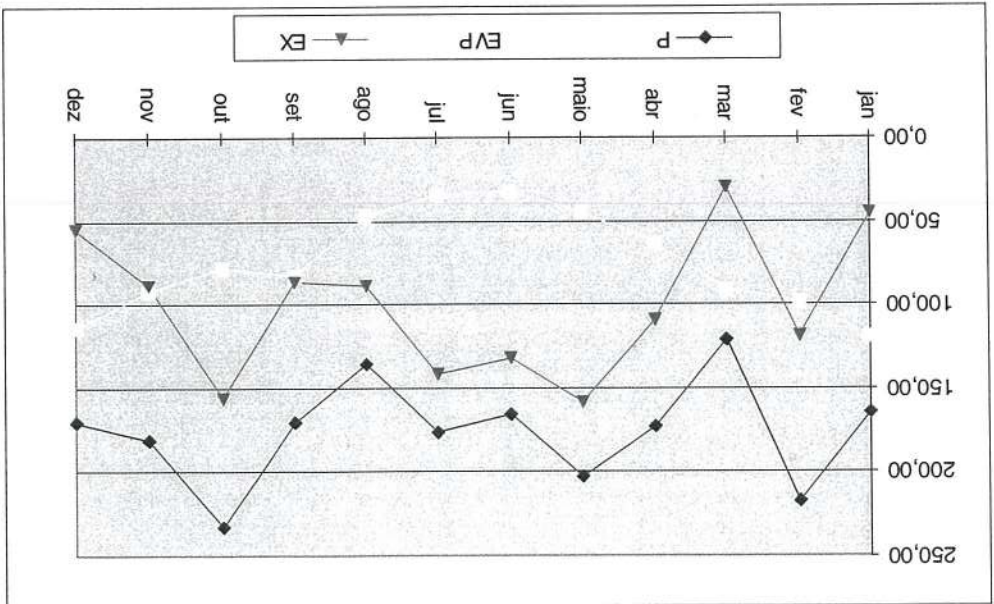


Fig. 10.19 - Balanço hídrico da cidade de Chapecó

Com relação aos aspectos sanitários, segundo o levantamento efetuado pela Empresa de Pesquisas Agropecuária e Extensão Rural de Santa Catarina – Epagri, no projeto de Microbacias/Bril, 1996, na bacia hidrográfica do Rio Monte Allegre encontra-se treze comunidades. Juntas, estas comunidades reúnem 285 famílias, as quais, na sua maioria, desenvolvem atividades agropecuárias, com destaque para as culturas de mandioca milho e soja e as criações de aves, suínos e bovinos de corte.

- águas turvas;
- é turbulento, com boa capacidade de aerágão superficial;
- vazão média de estagmom para o setimo dia de um tempo de recorrência de dez anos ($7Q10$) é 93,76 L/s;
- largura média igual a 7 m e profundidade média de 1,5m;
- declividade média aproximadamente igual a 3%;

O Rio Monte Allegre é um rio de porte pequeno, encaxado entre vales, e apresenta os seguintes aspectos físicos:

O Rio Monte Allegre apresenta um curso com desenvolvimento aproximado de 14,6 Km o qual finda no Rio Uruguai. Ao longo de seu leito formam identificadas 13 afluentes, sendo que a maioria é de escoramento não perene (carta catrográfica, Ref.: 1), perfazendo uma extensão total de drenagem de aproximadamente 59,6 Km. Na figura 10.20 é apresentada a carta catrográfica da bacia hidrográfica do Rio Monte Allegre.

10.1.4.2 Rio Monte Allegre

A região onde será instalada a Cetric compreende a bacia hidrográfica do Rio Monte Allegre a qual faz parte da bacia do Rio Uruguai. Localiza-se entre os meridianos 52°37'29" e 52°33'28" de longitude oeste, e os paralelos 27°07'46" e 27°14'49", de latitude sul. A bacia hidrográfica do Rio Monte Allegre possui uma área de 48,7 Km², com densidade de drenagem igual a 1,2 Km/Km².

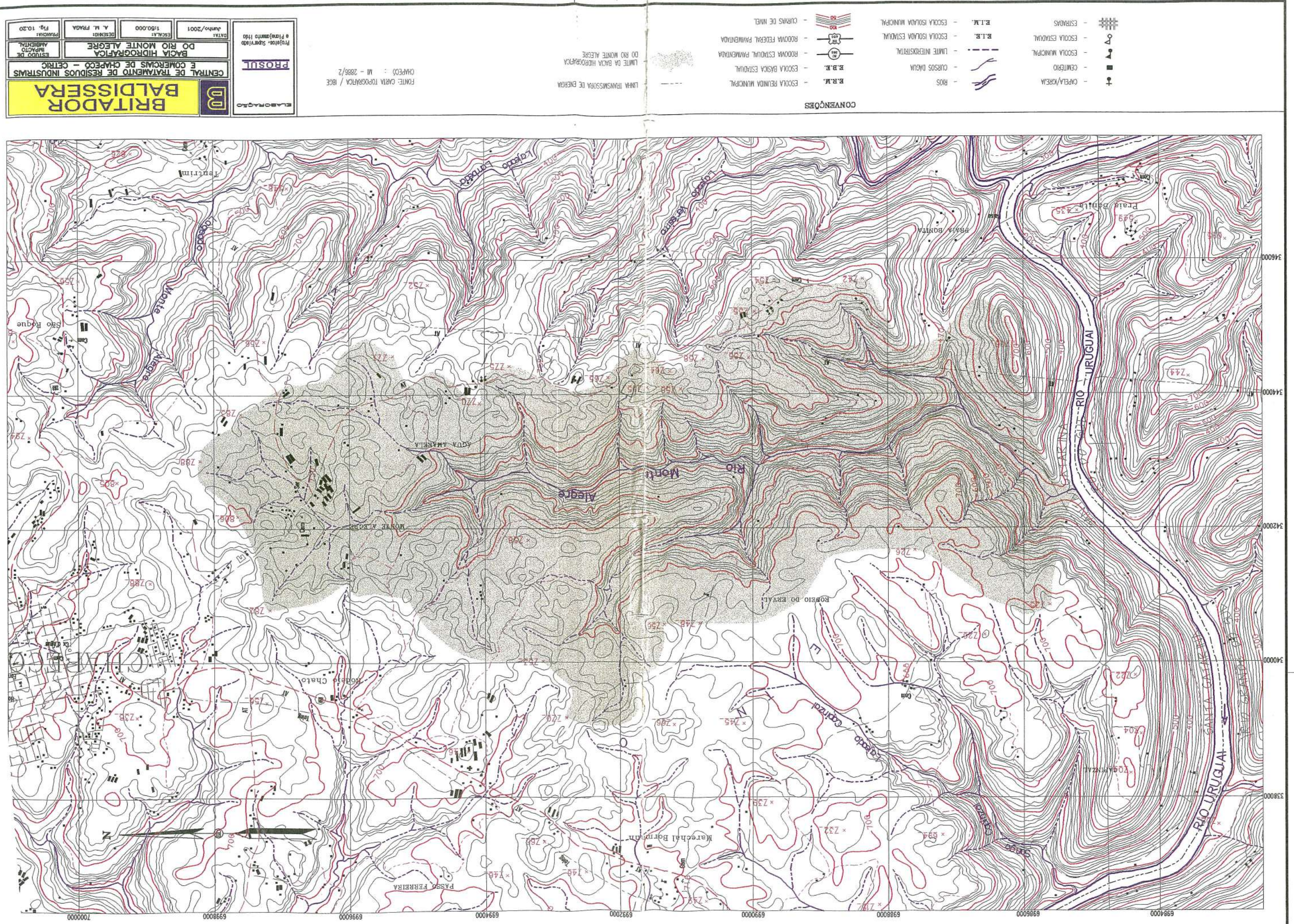
Observando os regimes fluviais dos rios catarinenses, pode-se concuir, que via de regra, são um reflexo da boa regularidade de distribuição da pluviometria que ocorre na região, onde a inexistência de deficit hídrico leva a um abastecimento normal dos mananciais durante todo o ano. Porém pode-se distinguir as épocas de máximas, que acontece na primavera e no final do verão, e as mínimas vazões registradas no início do verão, no outono, prolongando-se até o inverno, como é característico das regiões de clima subtropical.

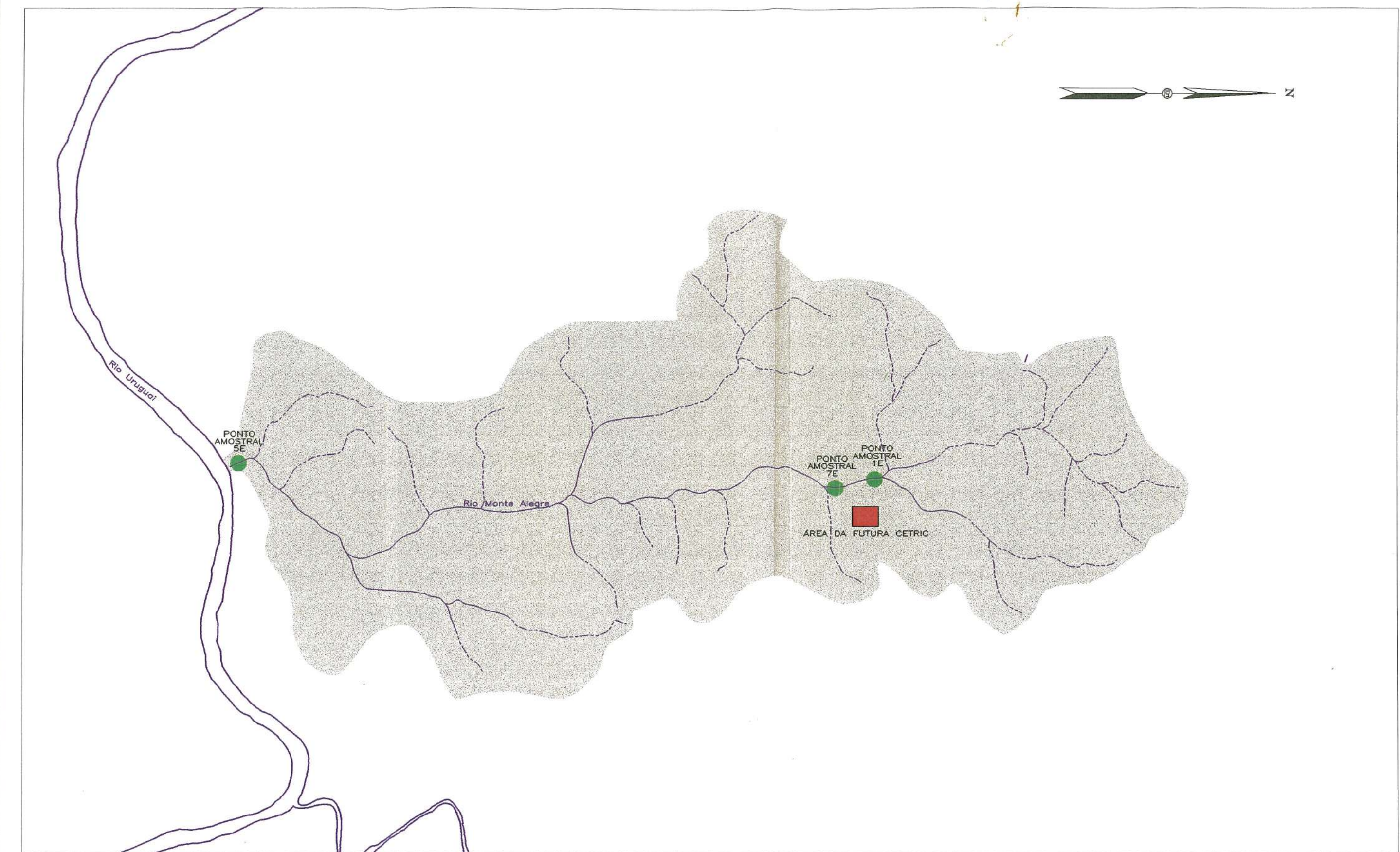
A região onde será instalada a Cetric compreende a bacia hidrográfica do Rio Monte Allegre, que é uma extensão de 2.300 Km da cabecera principal à foz do Rio Uruguay, das Antas, Chapecó, Içá, Jacutinga, do Peixe, Canoas e Pelotas. Faz parte do mesmo sistema a bacia do Rio Iguaçu, com área de 10.612 Km², apresentando como principais sub-bacias as dos rios Negro e Canoinhas. Na vertente do interior os rios principais que drenam a bacia do Rio Iguaçu, seu percurso é ocorenoza de inverno hidroenergético.

O saneamento básico nestas regiões é precário, assim como a assistência social, no sentido de orientar as comunidades da imprensa de proteger a qualidade ambiental na região onde residem. Foi constatado que um número significativo de propriedades lares seus esgotados sanitários *in natura* no solo ou em alguma curva d'água, os resíduos sólidos domiciliares, entre elas embalagens de agrotóxicos, na maioria são enterrados ou queimados ou ainda dispostos próximos de cursos d'água, entre outras situações que vêm a prejudicar a qualidade de vida dos cidadãos.

Ao longo do seu curso não foi observado nenhum lagoamento pontual, de alguma fabrica ou estabelecimento comercial, que tivesse importância significativa.

E apresentado na figura 10.21, um mosaico, com a localização tridimensional dos recursos hídricos superficiais próximos à área escolhida (área I).





- LIMITE DA BACIA HIDROGRÁFICA
DO RIO MONTE ALEGRE

ELABORAÇÃO
PROSUL
Projetos, Supervisão
e Planejamento Ltda

B **BRITADOR BALDISSERA**
CENTRAL DE TRATAMENTO DE RESÍDUOS INDUSTRIAS
E COMERCIAIS DE CHAPECO - CETRIC
PONTOS AMOSTRADOS NO
RIO MONTE ALEGRE
ESTUDO DE
IMPACTO
AMBIENTAL
DATA: Junho/2001 ESCALA: 1:50.000 DESENHO:
A. M. FRAGA PRANCHAS: Fig. 10.22